Экспериментальная установка по измерению поляризационных корреляций запутанных и декогерентных аннигиляционных фотонов

А. Г. Баранов МНС, ИЯИ РАН, Москва

По материалам диссертации представленной на звание к.ф.-м.н.

Основные положения, выносимые на защиту:

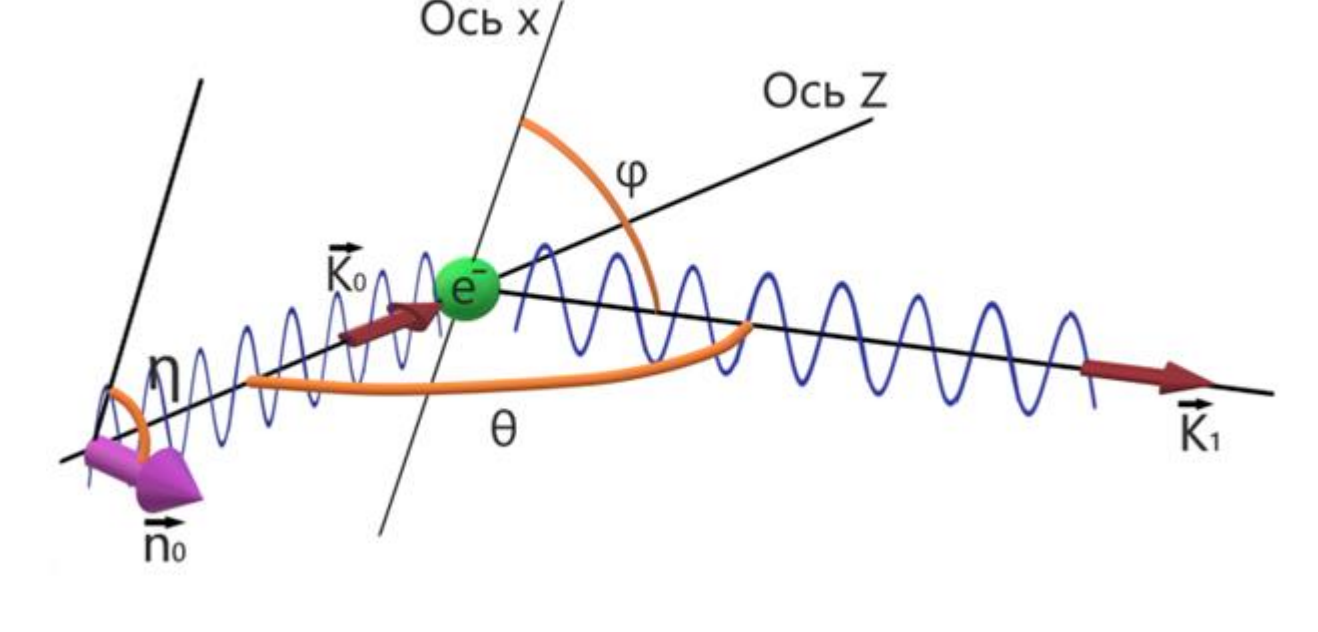
- 1. Системы детекторов и конструкция экспериментальной установки по исследованию поляризационных корреляций аннигиляционных фотонов в различных квантовых состояниях.
- 2. Методика получения контролируемой декогеренции аннигиляционных фотонов с помощью промежуточного активного комптоновского рассеивателя.
- 3. Результаты измерений параметров детекторов комптоновских поляриметров с различными типами сцинтилляторов и фотодетекторов.
- 4. Электронная схема установки, состоящая из аналоговых, цифровых, триггерных блоков электроники и источников питания вакуумных ФЭУ и кремниевых фотоумножителей.

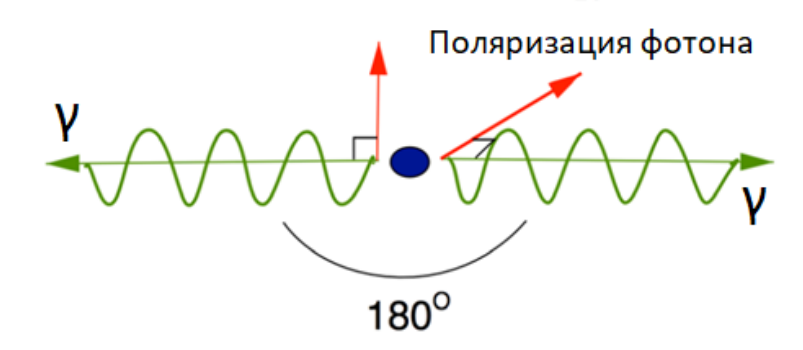
Аннигиляционные фотоны и определение поляризации фотона

Волновая функция двухфотонного состояния:

$$|\Psi\rangle = \frac{1}{\sqrt{2}} \cdot (|HV\rangle + |VH\rangle)$$







Формула Клейна-Нишины:

$$\frac{d\sigma}{d\Omega} = \frac{1}{2} \cdot \frac{e^2}{m_e c^2} \cdot \frac{{E_1}^2}{{E_0}^2} \left(\frac{E_1}{E_0} + \frac{E_0}{E_1} - 2\sin^2\theta \cos^2(\varphi) \right)$$

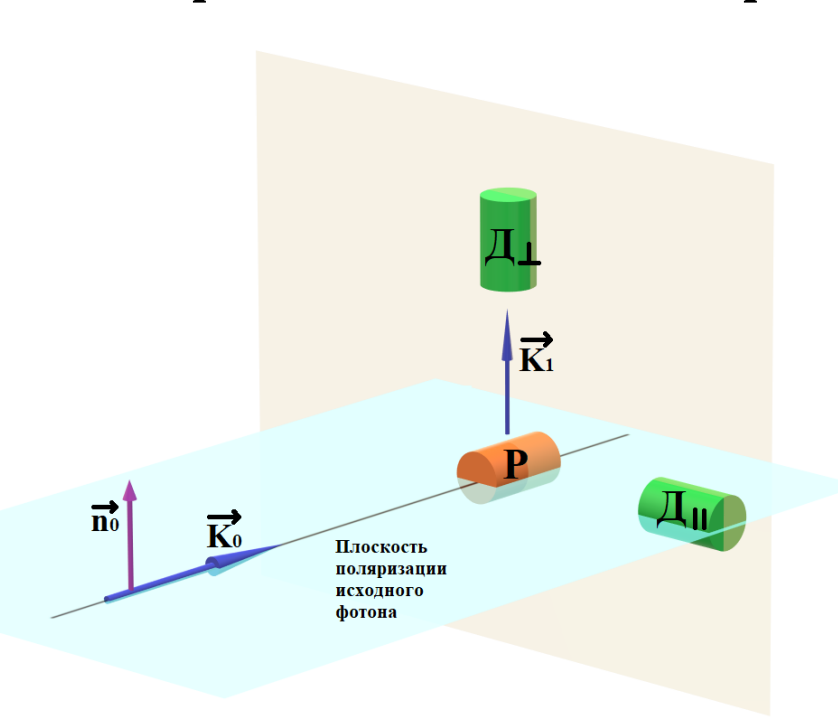
- Согласно теории аннигиляционные фотоны максимально запутаны.
- Фотоны пары не обладают определённой поляризацией, однако их поляризации ортогональны друг другу.

Сечение максимально для угла $\phi = \pi/2$:

- Вероятность рассеяния максимальна в плоскости перпендикулярной плоскости поляризации.
- Рассеянный фотон вылетает преимущественно перпендикулярно плоскости поляризации.

Комптоновские поляриметры

Поляризация начального фотона может быть определена по углу рассеяния.



Анализирующая способность (эффективность измерения поляризации):

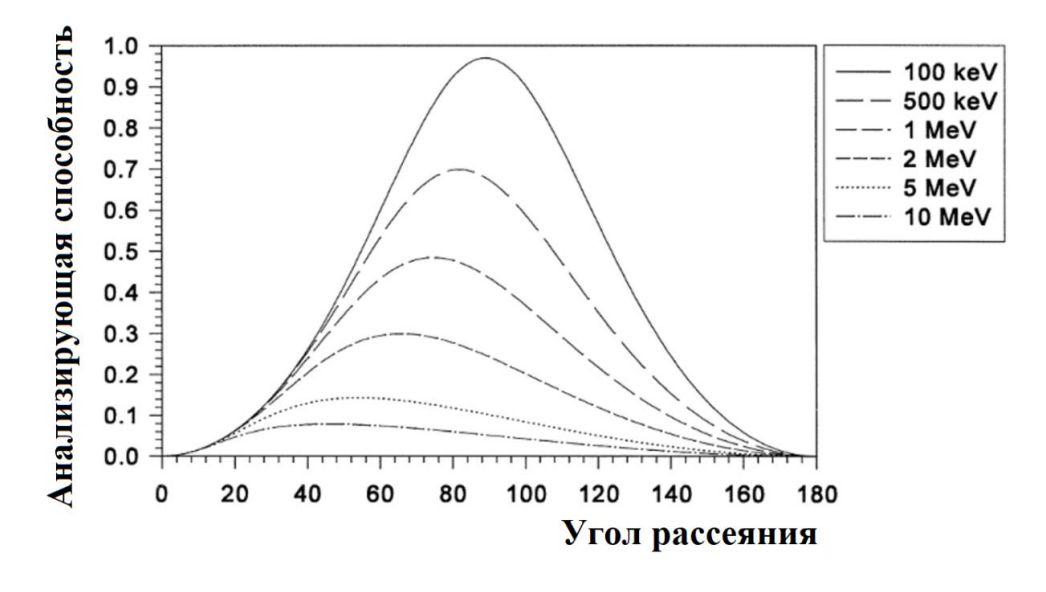
$$A = \frac{N_{\perp} - N_{\parallel}}{N_{\perp} + N_{\parallel}}$$

Анализирующая способность комптоновского поляриметра:

$$A(\theta) = \frac{\frac{d\sigma}{d\Omega}(\theta, \phi = 90^{0}) - \frac{d\sigma}{d\Omega}(\theta, \phi = 0^{0})}{\frac{d\sigma}{d\Omega}(\theta, \phi = 90^{0}) + \frac{d\sigma}{d\Omega}(\theta, \phi = 0^{0})} = \frac{\sin^{2}\theta}{\frac{E_{\gamma_{1}}}{E_{\gamma}} + \frac{E_{\gamma}}{E_{\gamma_{1}}} - \sin^{2}\theta}$$

Максимальное значение A=0.7для энергии 511 кэB в случае угла рассеяния $\theta=82^{0}$.

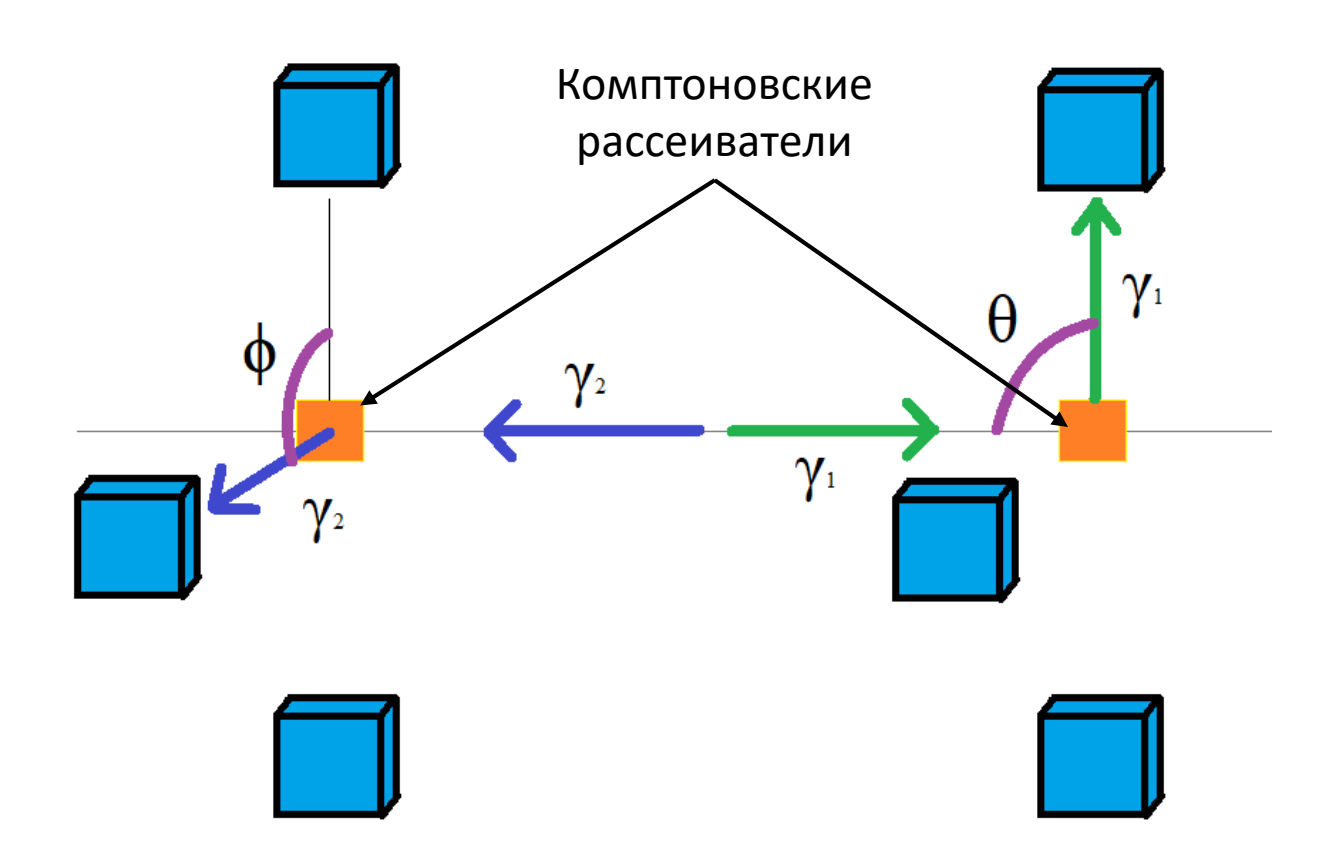
Это затрудняет поляризационные измерения характеристик пары аннигиляционных фотонов.



Методика измерения характеристик запутанных фотонов

Методика исследования квантовой запутанности в системе аннигиляционных фотонов заключается в измерениях азимутальных угловых распределений двух рассеянных фотонов, которые отражают поляризационные корреляции начальных аннигиляционных фотонов. [D. Bohm and Y. Aharonov, Discussion of Experimental Proof for the Paradox of Einstein, Rosen, and Podolsky, Physical Review, vol. 108, no. 4, pp. 1070–1076, Nov. 1957]

Методика требует использования двух комптоновских поляриметров.



Для запутанных фотонов $R=\frac{N_{\varphi=90}}{N_{\varphi=0}}$ должно быть максимальным. (N_{φ} - количество регистраций пар фотонов, рассеявшихся под углом φ друг к другу)

Согласно критериям Бома и Ааронова фотоны являются:

- запутанными при R > 2 ($R_{max} = 2.85$)
- независимыми, однако имеющими взаимно перпендикулярную поляризацию, если R < 2
- независимыми и имеющими случайную поляризацию относительно друг друга, если R=1

Теоретические предсказания квантовых корреляций для аннигиляционных фотонов.

B. C. Hiesmayr and P. Moskal, "Witnessing Entanglement In Compton Scattering Processes Via Mutually Unbiased Bases," *Sci Rep*, vol. 9, no. 1, p. 8166, Jun. 2019

В обоих квантовых состояниях (максимально запутанном и сепарабельном) поляризационные корреляции идентичны. Эти результаты противоречат выводам Бома и Ааронова, а также говорят о невозможности создания нового поколения Позитрон эмиссионных томографов (ПЭТ), использующих явление квантовой запутанности.

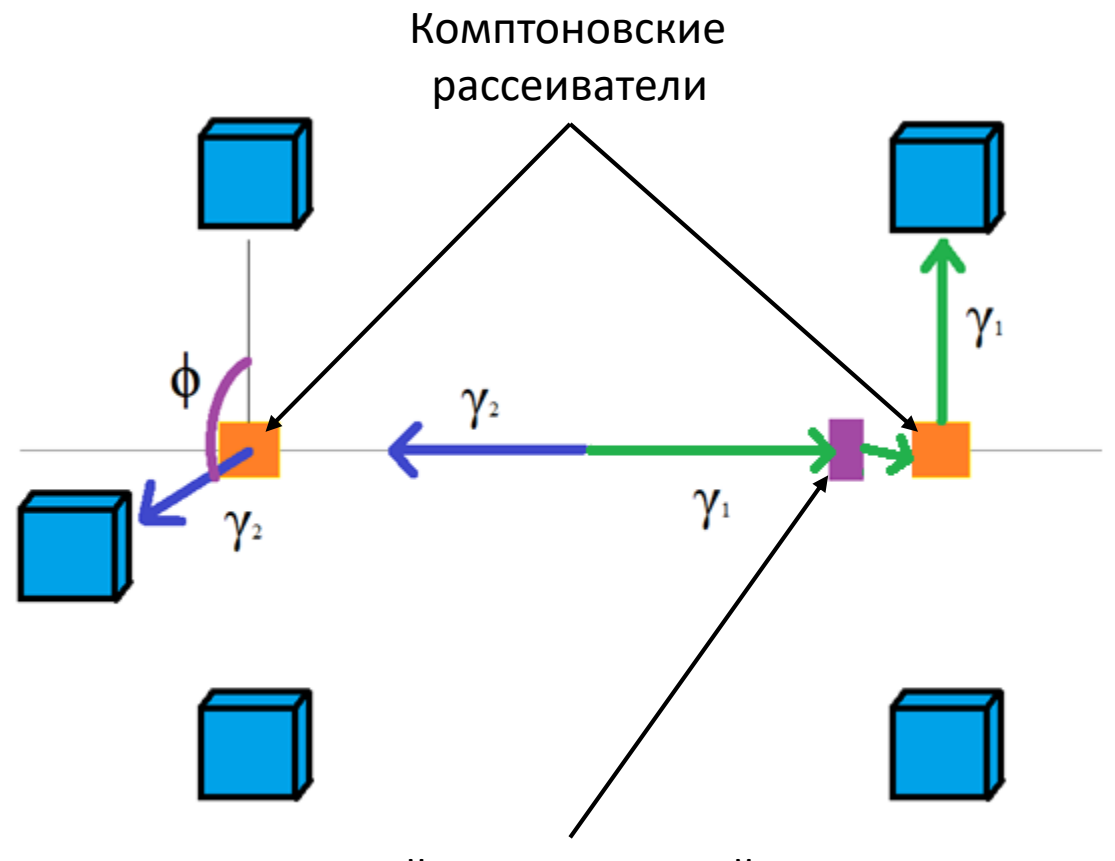
P. Caradonna, D. Reutens, T. Takahashi, S. Takeda, and V. Vegh, "Probing entanglement in Compton interactions," *J Phys Commun*, vol. 3, no. 10, p. 105005, Oct. 2019

Результат повторил выводы Бома и Ааронова о кардинально различном поведении корреляций для максимально запутанных (R=2.85) и декогерентных (R=1) фотонов. В последнем случае поляризационных корреляций между двумя фотонами вообще не должно было наблюдаться.

Полученные теоретические результаты поднимают множество вопросов и заставляют задуматься над самим фактом доказанности запутанности аннигиляционных фотонов, поскольку измерения корреляций для декогерентных фотонов не были проведены вообще.

Метод получения декогерентных фотонов

Предлагается прямое сравнение поляризационных корреляций фотонов в начальном, максимально запутанном состоянии, и в декогерентом состоянии, полученном после измерения поляризации одного из исходных фотонов.

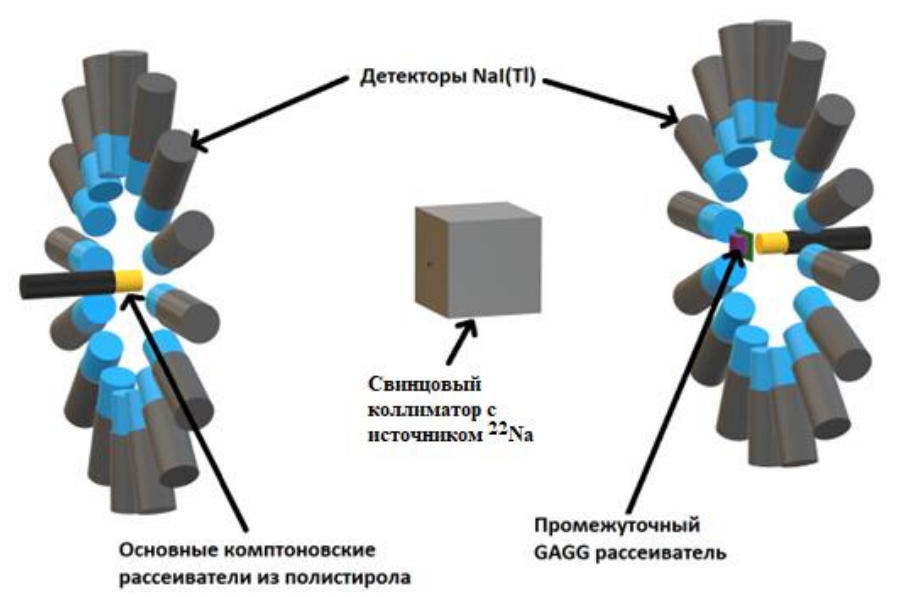


Промежуточный комптоновский рассеиватель

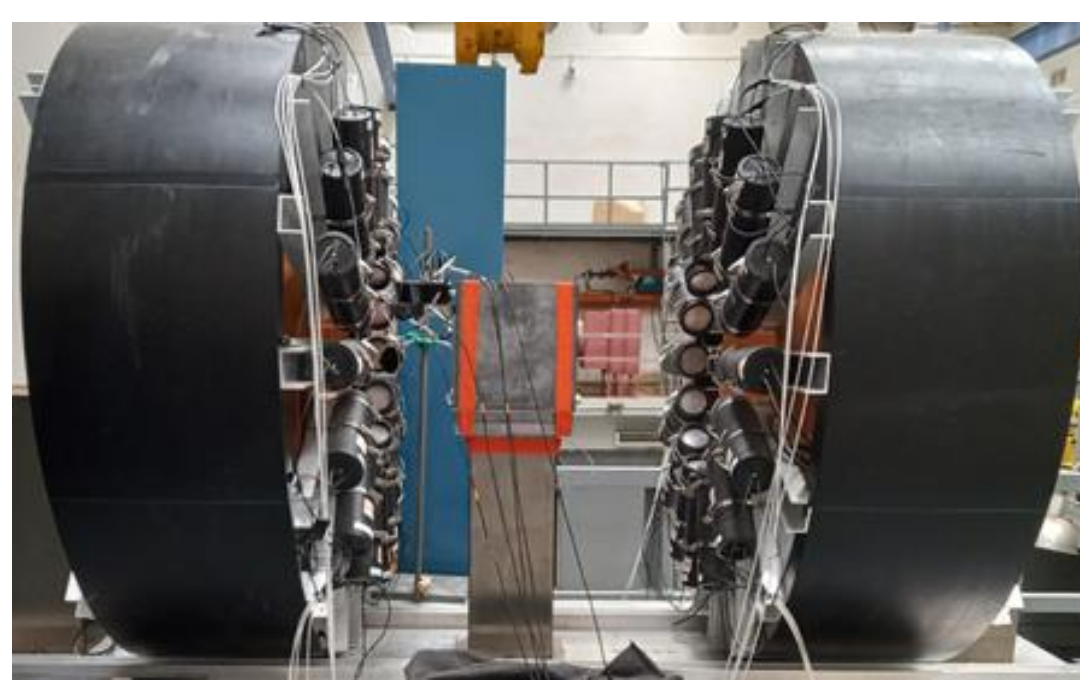
Для получение декогерентного состояния вводится дополнительный детектор – промежуточный комптоновский рассеиватель.

Согласно квантовой теории, измерение поляризации внешним прибором должно привести к разрушению начального квантового состояния

Экспериментальная установка

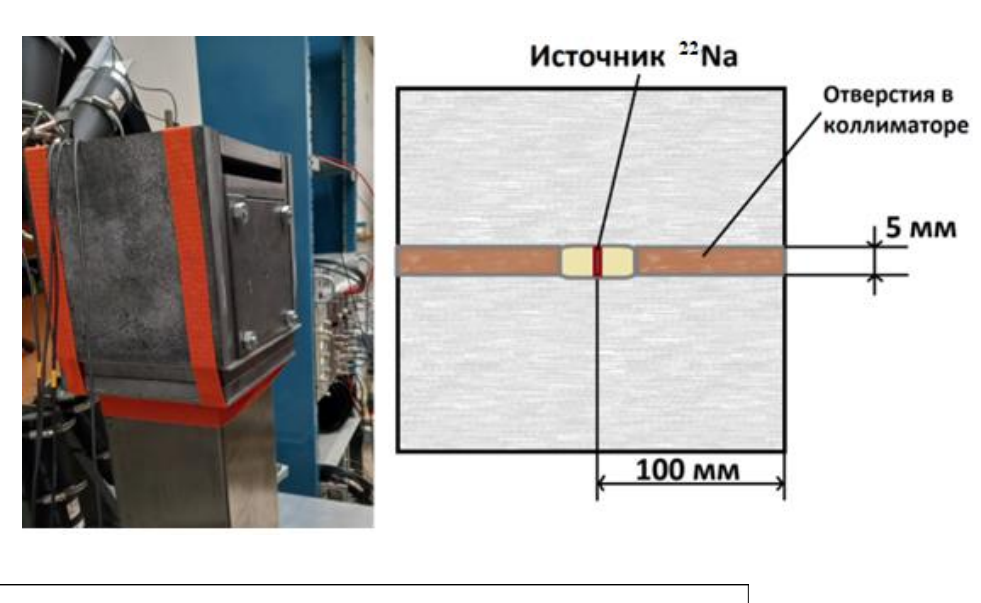


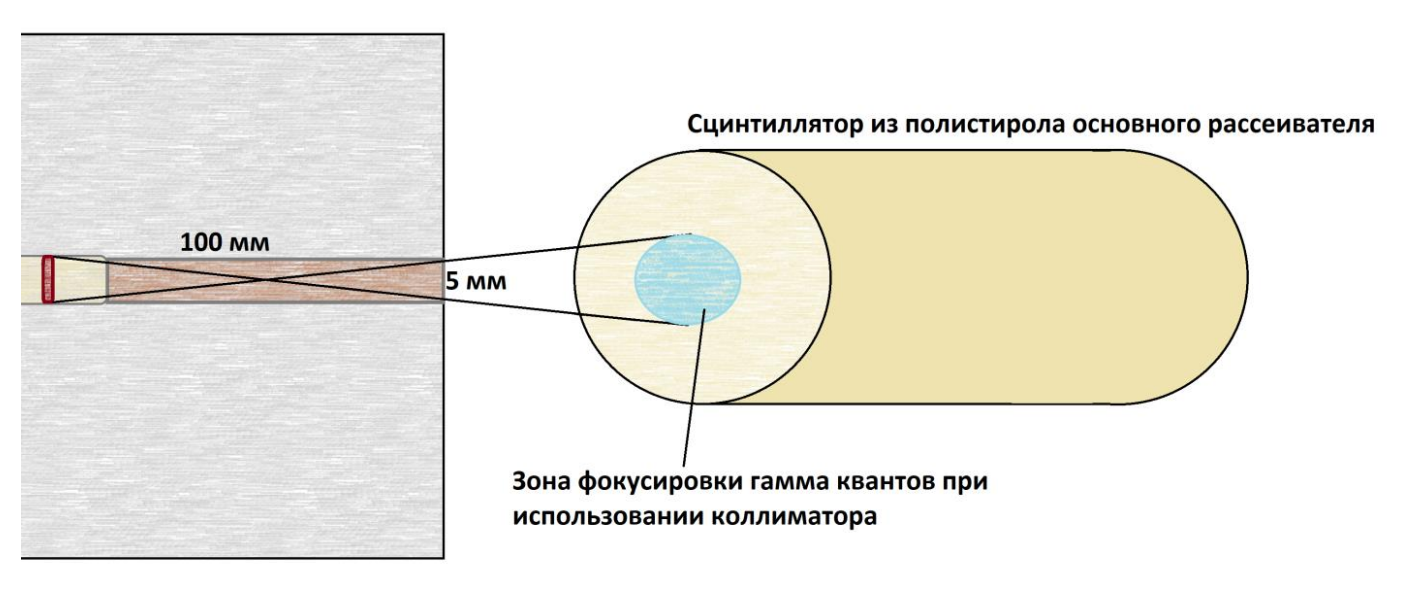
- Два плеча регистрация двух аннигиляционных фотонов;
- В каждом плече комптоновский рассеиватель и 16 детекторов рассеянных фотонов;
- Большой телесный угол высокая скорость набора данных;
- Азимутальная симметрия компенсация систематических ошибок, связанные с несовершенной геометрией установки;
- Промежуточный рассеиватель механизм декогеренции.

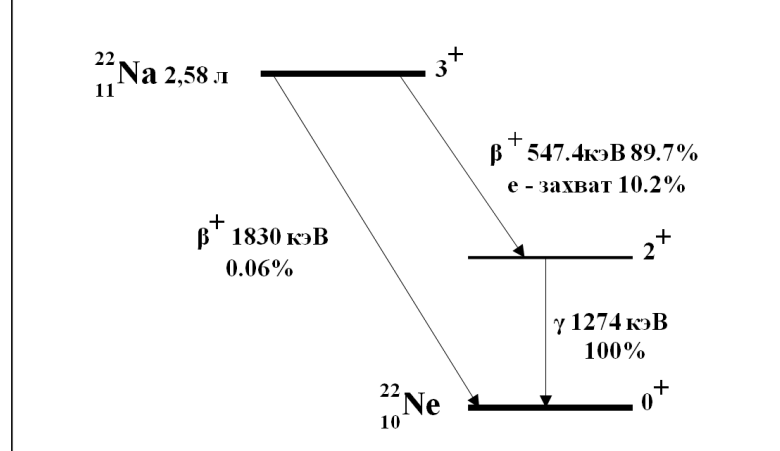




Источник аннигиляционных фотонов



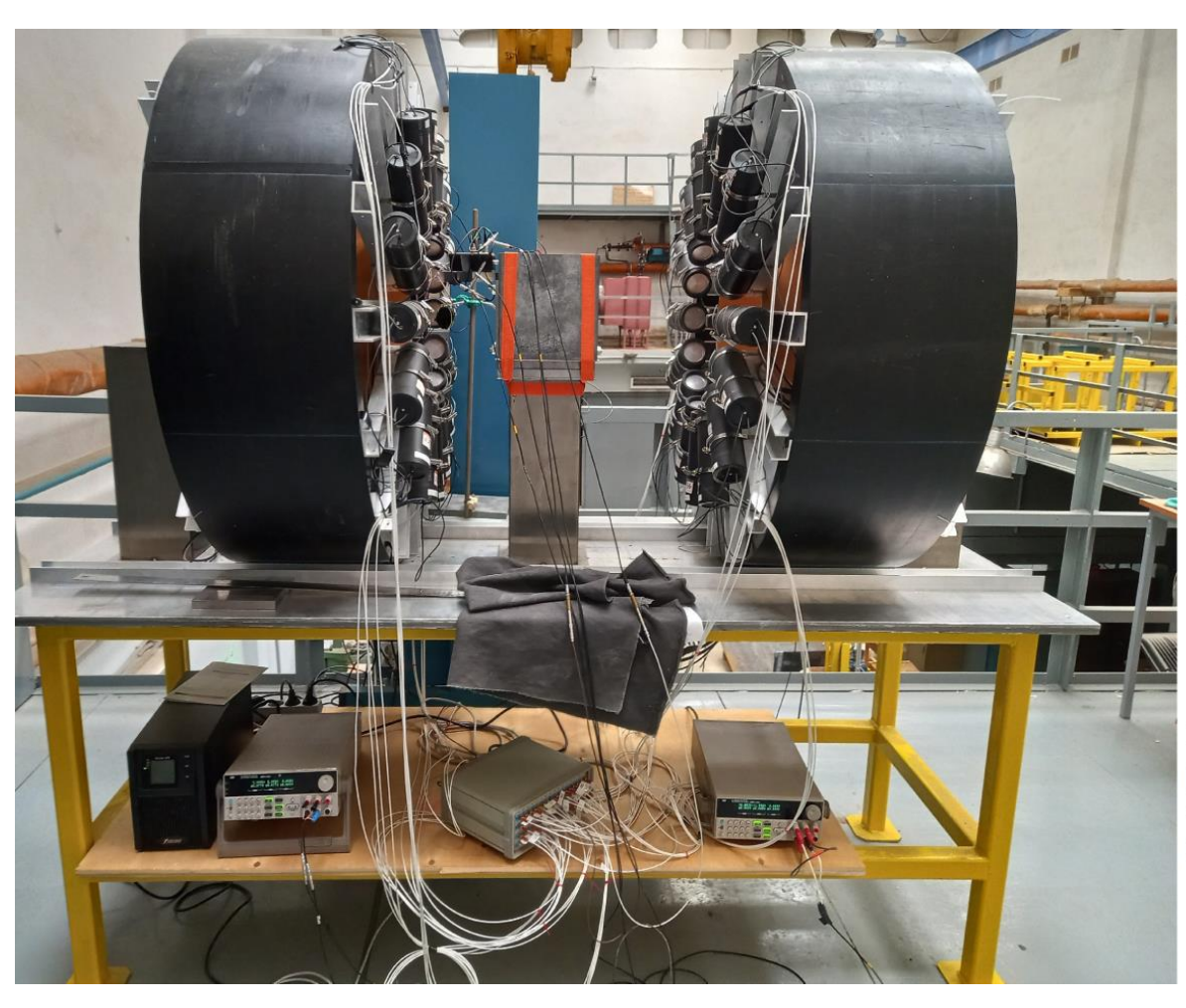




90% случаев $^{22}_{11}Na \rightarrow ^{22}_{10}Ne + e^+ + \nu_e$ 10% случаев $^{22}_{11}Na + e^- \rightarrow ^{22}_{10}Ne + \nu_e$

- Источником является алюминиевая фольга, облучённая протонами, имеющая диаметр 5мм и толщину 1 мм.
- Алюминиевая фольга размещена в свинцовом коллиматоре с размерами 20x20x20 см³. В двух противоположных от источника сторонах, коллиматор имеет горизонтальные отверстия с диаметром 5 мм.
- Область попадания гамма квантов представляет собой круг с максимальным диаметром около 25 мм при расстоянии от коллиматора до детектора, равном 20 см.

Механическая структура.

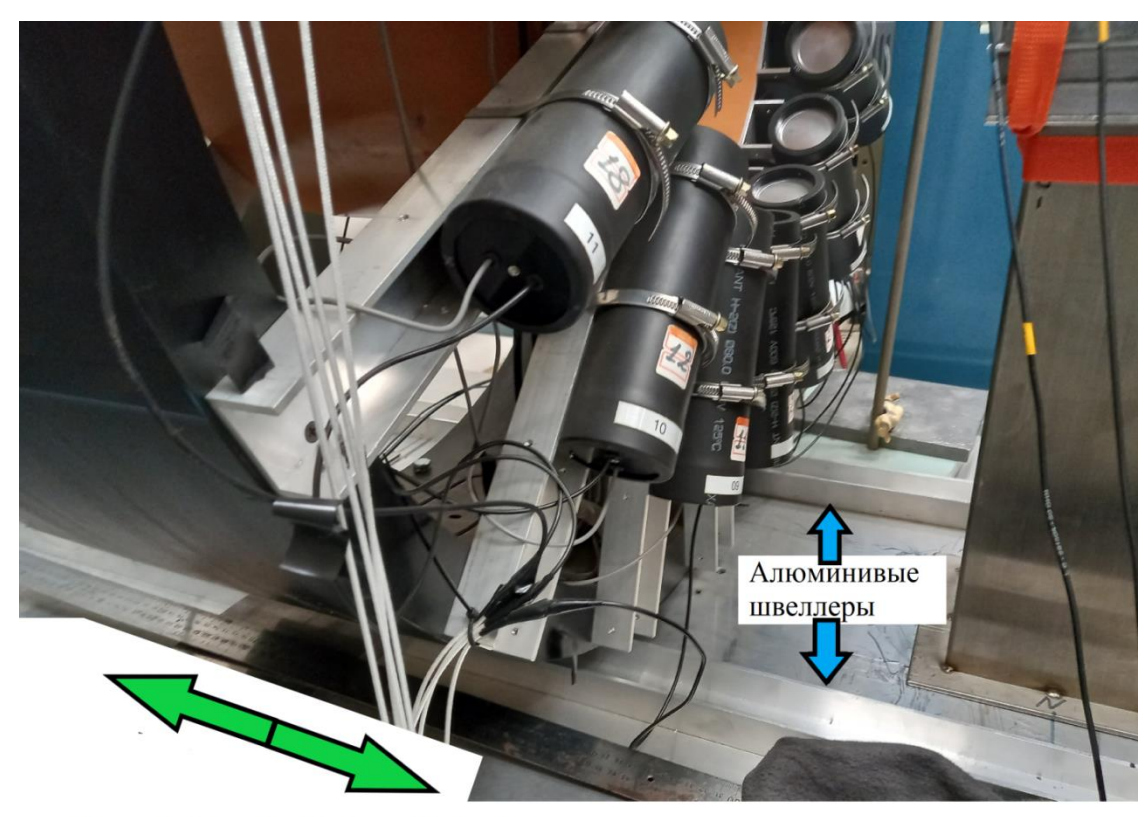


Верхний ярус для размещения детекторов

Нижний ярус для размещения электронной аппаратуры

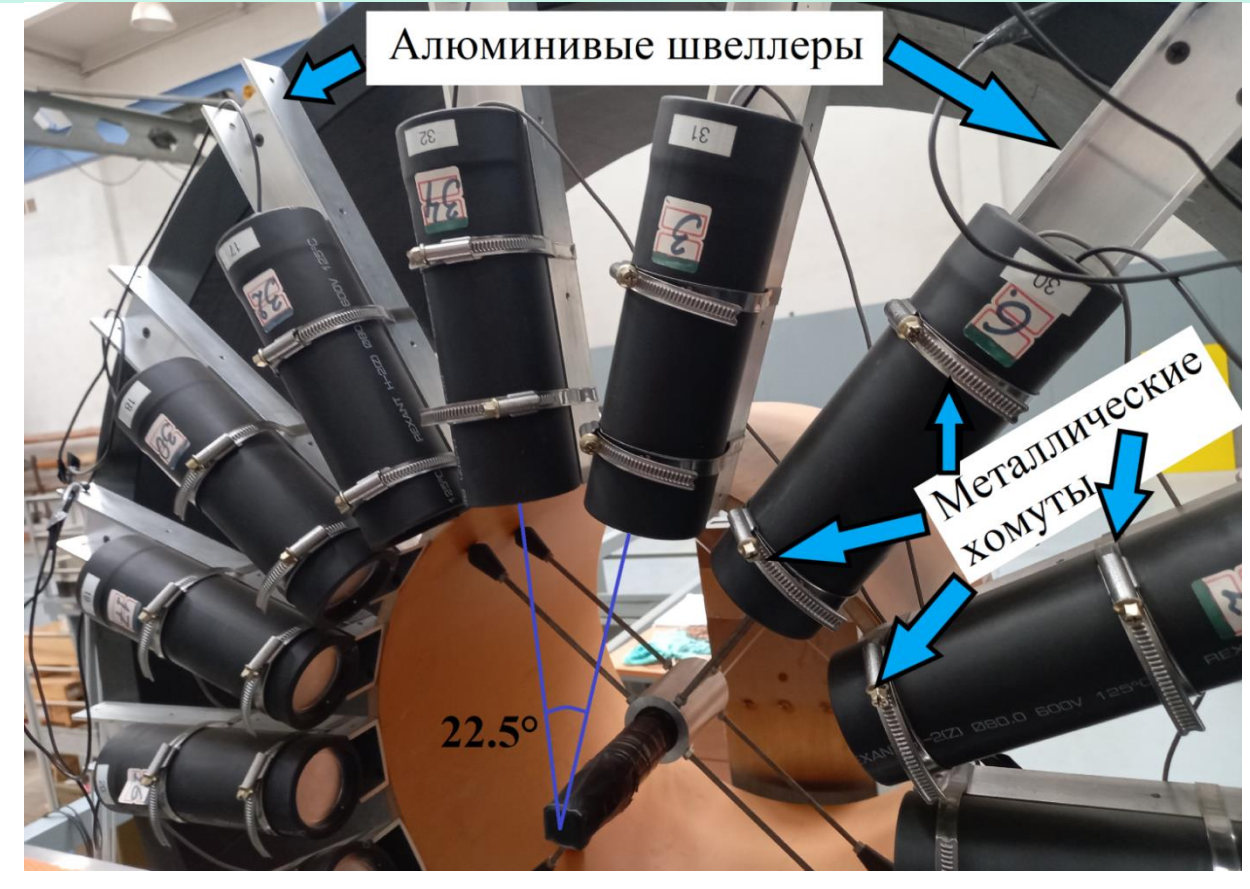
- Экспериментальная установка расположена на двухъярусной металлической платформе.
- Верхний ярус: сцинтилляционные детекторы, источник аннигиляционных фотонов
- Нижний ярус: источники питания, АЦП
- Общий каркас для крепления две массивные ПВХ трубы с радиусом 49.5 см. и толщиной 5 см., внутри которых установлены две ПВХ трубы с меньшим радиусом 20.5 см. и толщиной 1 см.
- Трубы с большим и меньшим диаметрами скреплены 16 алюминиевыми швеллерами.

Устройство плеч поляриметров



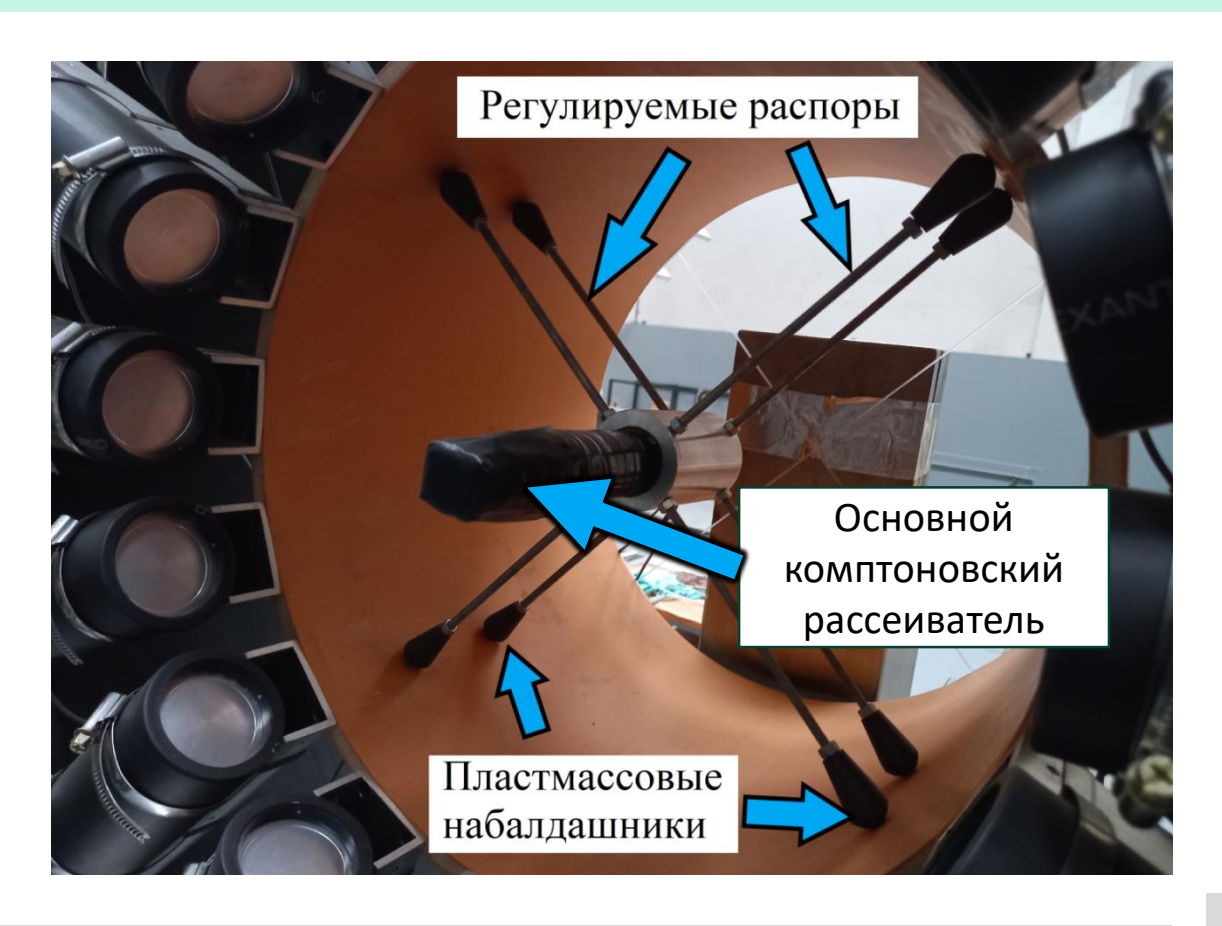


• Два алюминиевых швеллера закреплены вдоль металлической платформы, формируя опоры для плеч установки и позволяя их перемещение вдоль оси установки.

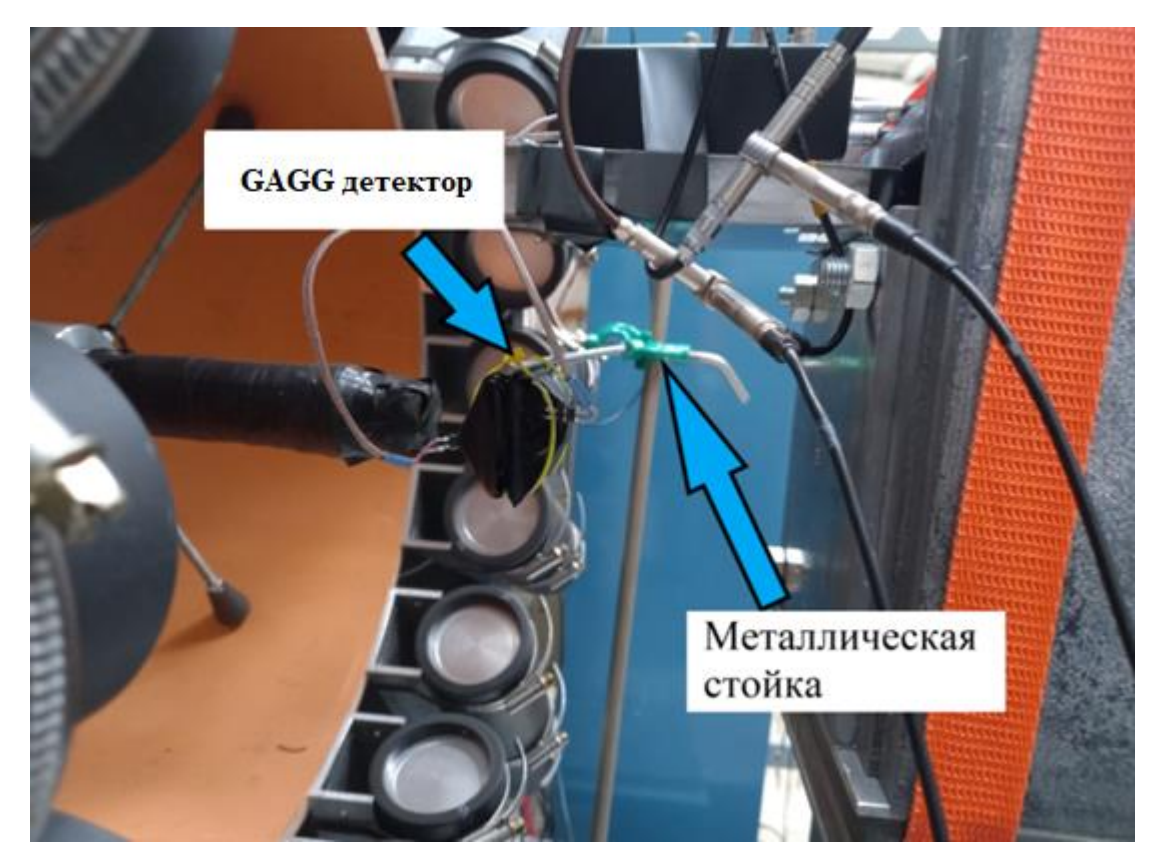


- В каждом плече установки размещено по 16 детекторов рассеянных фотонов.
- Азимутальный угол между соседними счетчиками составляет 22.5 градуса
- Расстояние от основных комптоновских рассеивателей до детекторов рассеянных фотонов составляет около 200 миллиметров. Диаметр детекторов равен 50 мм
- Диапазон полярных углов рассеянных фотонов меняется от 82 до 98 градусов.

Расположение комптоновских рассеивателей

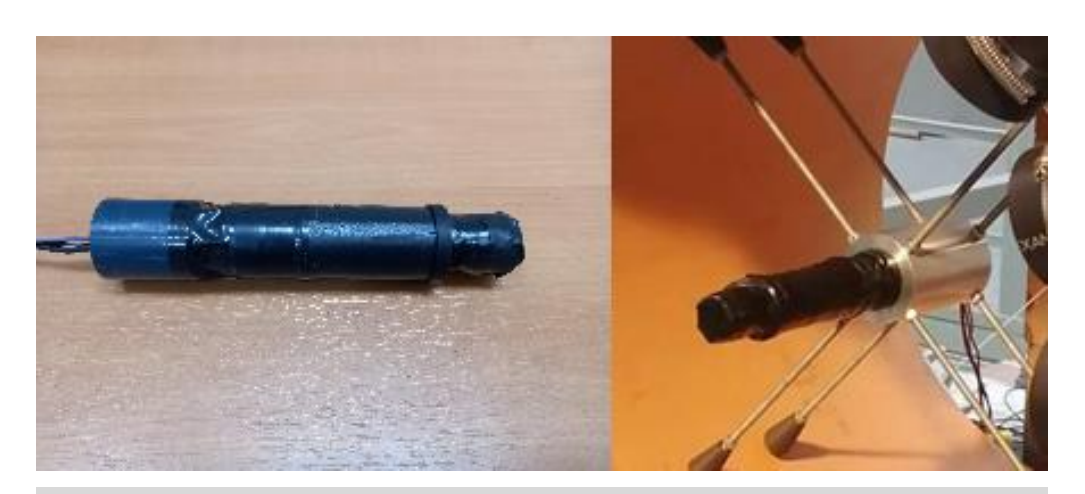


• В каждом плече экспериментальной установки находится по одному комптоновскому рассеивателю, который состоит из органического сцинтиллятора на основе полистирола и вакуумного фотоэлектронного умножителя (ФЭУ).

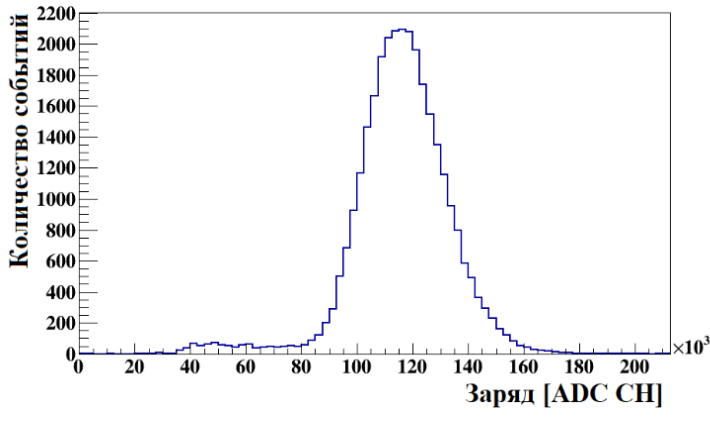


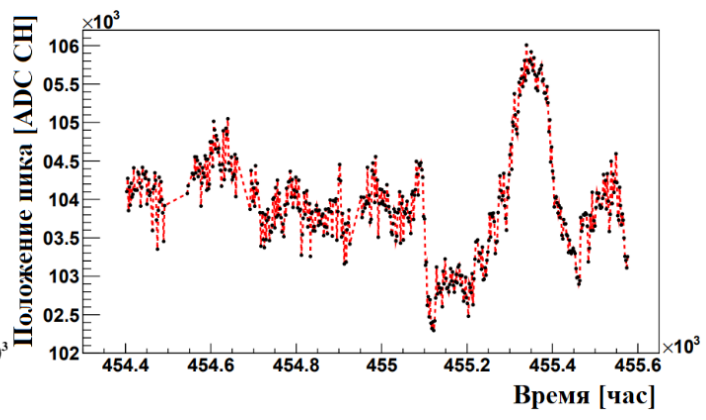
- Ключевым детектором экспериментальной установки является промежуточный (дополнительный) комптоновский рассеиватель, состоящий из GAGG(Ce) сцинтиллятора и кремниевого фотоумножителя.
- GAGG(Ce) (Гадолиний-алюминий-галлиевый гранат активированный ионами церия) детектор расположен перед основным рассеивателем, установленным в левом плече установки.

Основные комптоновские рассеиватели



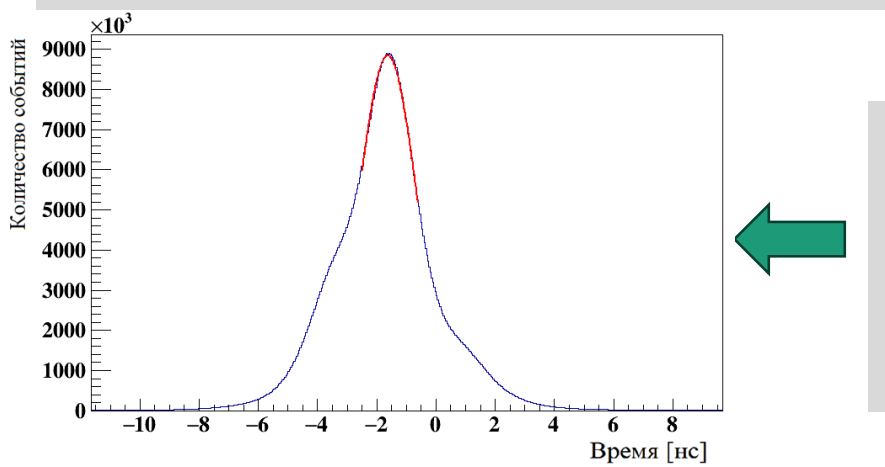
- Основные комптоновские рассеиватели представляют собой цилиндры из пластмассовых сцинтилляторов диаметром 20 мм и длиной 30 мм.
- Съем светового сигнала с сцинтиллятора осуществляется вакуумным фотоэлектронным умножителем Hamamatsu R7525.





Спектры энерговыделения в основном комптоновском рассеивателе для событий с углом рассеивания фотонов, близким к 90 градусов, пик соответствует энергии 255 кэВ

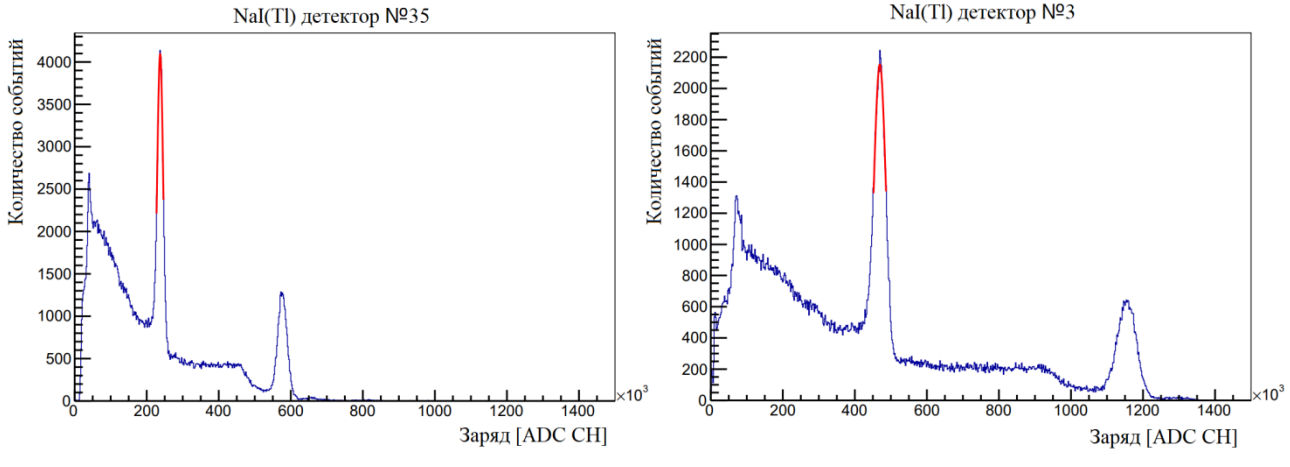
- Корреляция положений пиков 255 кэВ со временем набора данных.
- Дрейф пика энерговыделения в пластмассовом рассеивателе порядка 2%



- Спектр разницы времен между сигналами основных рассеивателей.
 Значение временного разрешения σ ≈ 0.98 нс. (во время работы установки)
- В ранних тестах с быстрым АЦП, временное разрешение получалось в 4 раза лучше.

Детекторы рассеянных фотонов (1)

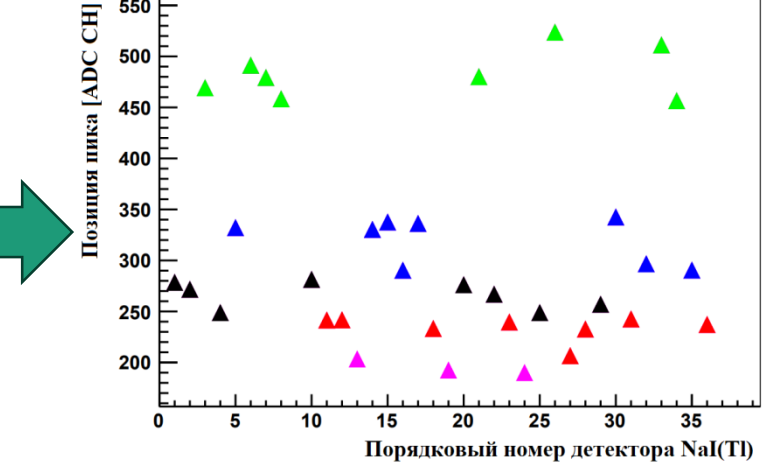


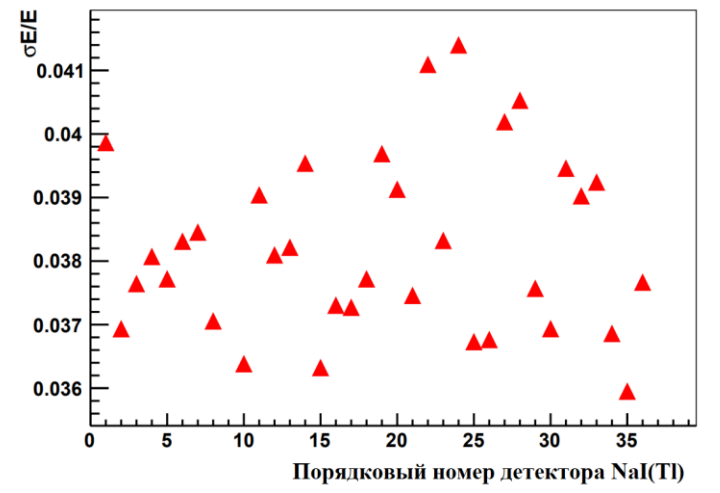


- Используются NaI(Tl) сцинтилляторы с высотой и диаметром D=H=50 мм.
- В NaI(Tl) детекторах используются фотоэлектронные умножители Hamamatsu R6231.
- Всего было собрано 35 идентичных по структуре детекторов при необходимых для установки 32 шт.

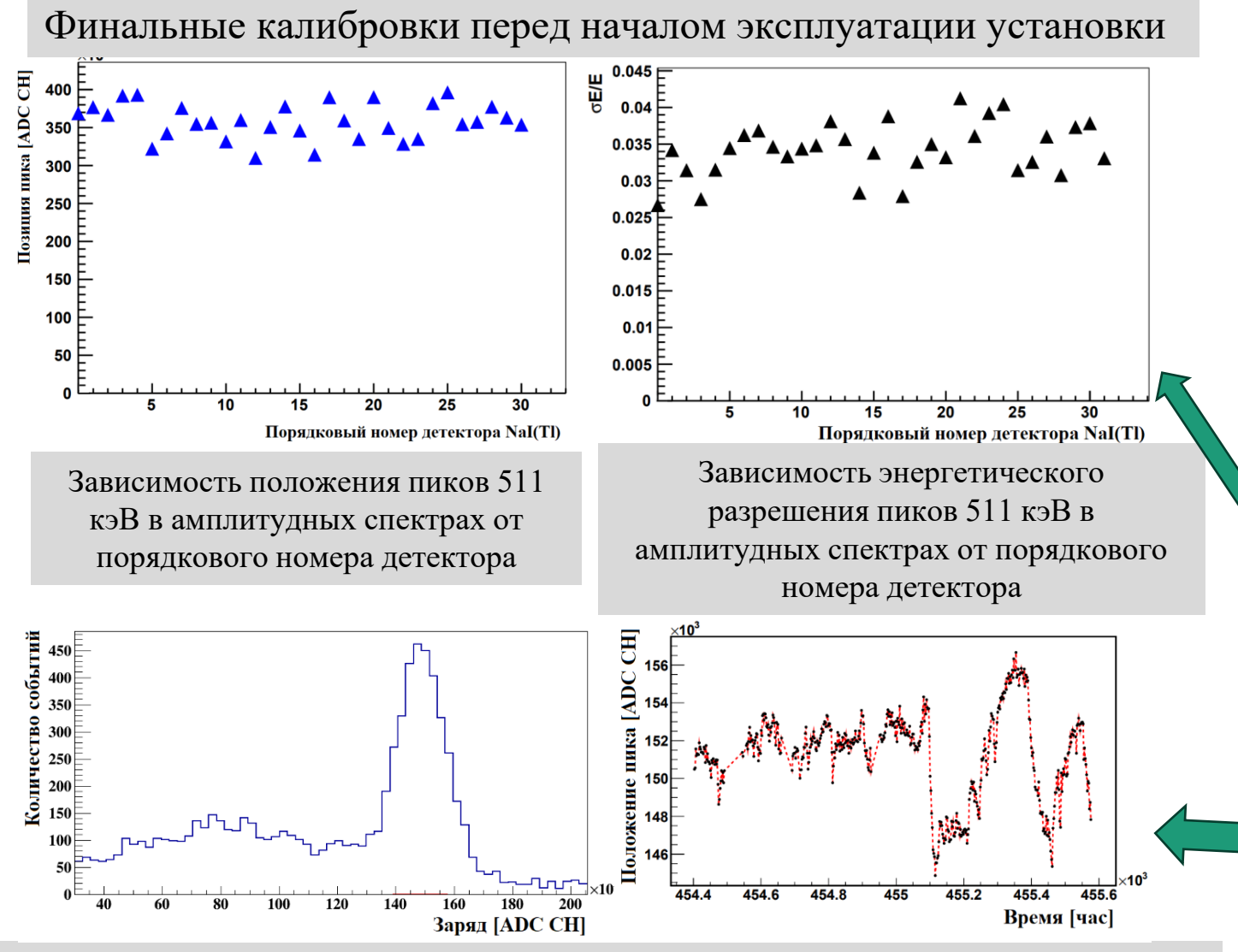
Примеры амплитудных спектров, полученных на первом этапе калибровки детекторов на основе NaI(Tl) с использованием источника источник ²²Na.

Зависимости энергетического разрешения и положения пиков 511 кэВ в амплитудных спектрах, полученных на первом этапе калибровки NaI(Tl) детекторов, от порядкового номера детектора. Были отобраны 4 группы детекторов с близкими рабочими напряжениями питания



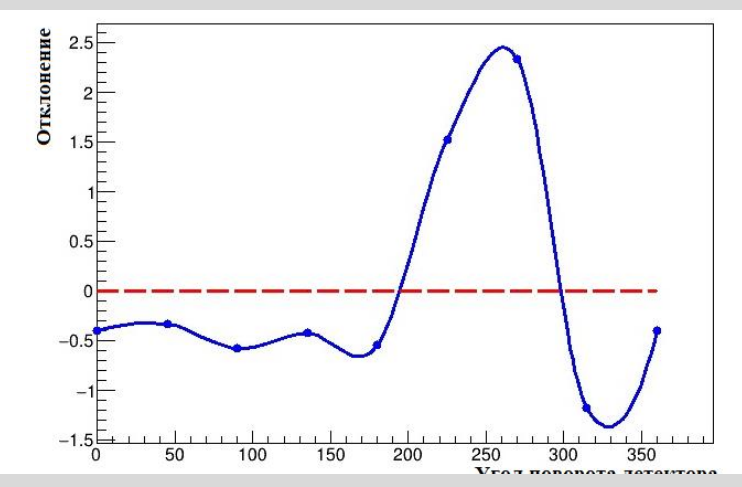


Детекторы рассеянных фотонов (2)



Слева — спектр энерговыделения в одном из NaI(Tl) детекторов на экспериментальной установке, набранный за 2 часа, пик соответствует энергии 255 кэВ. Справа — различия в положении пика 255 кэВ детектора NaI(Tl) в зависимости от времени.

Оценка влияния магнитного поля на изменение коэффициента усиления используемых ФЭУ



Максимальные отклонения от среднего значения составляют от -1.4% до 2.5%.

- В среднем, разрешение сцинтилляционных детекторов, составляет ~3,2%
- Максимальные колебания в данных детекторах во время проведения эксперимента составили порядка 5.5%.

Промежуточный рассеиватель GAGG(Ce)

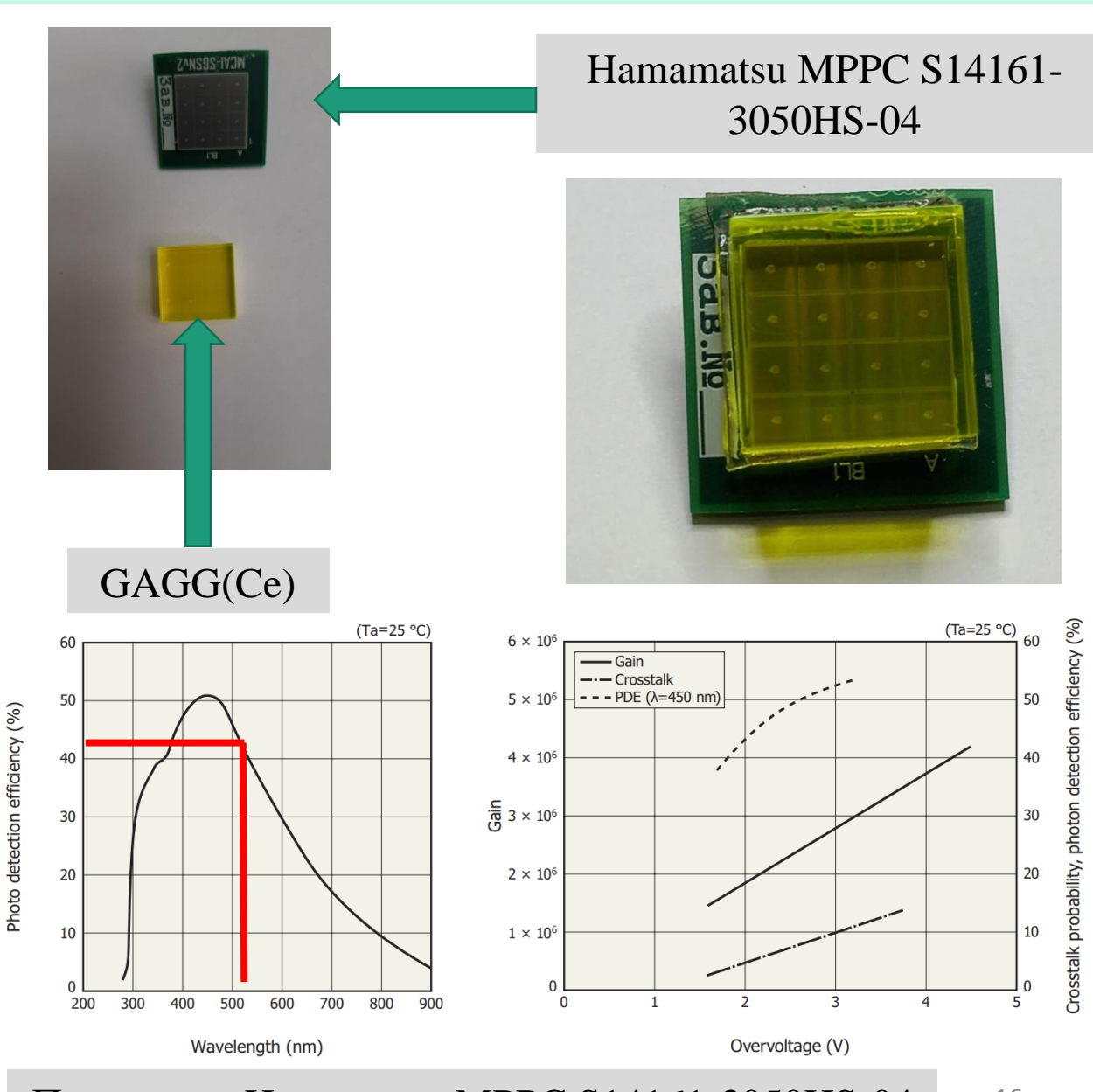
Для создания декогерентных пар в установку интегрирован промежуточный рассеиватель

Основные требования к промежуточному рассеивателю:

- 1)Надёжная регистрация событий с малым энерговыделением.
- 2)Минимальный пассивный материал детектора на пути фотонов, так как взаимодействие в этом материале также может привести к неправильной идентификации квантового состояния.

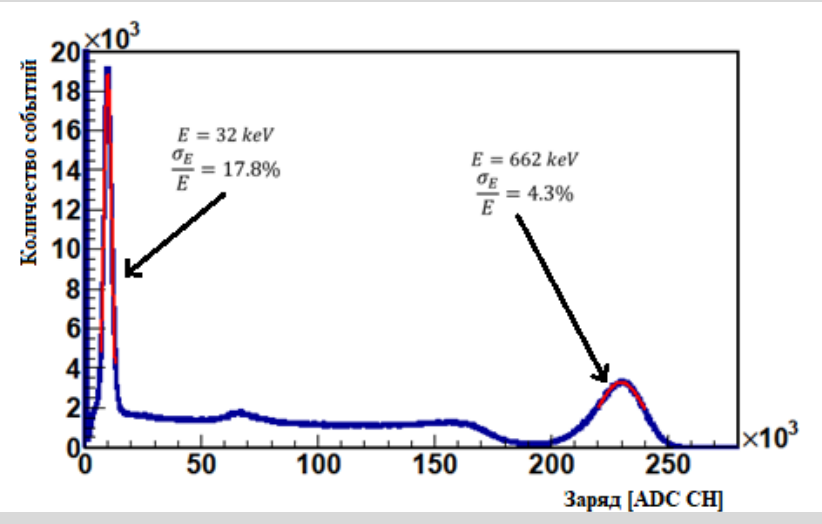
Основные преимущества GAGG(Ce) (Гадолинийалюминий-галлиевый гранат активированный ионами церия):

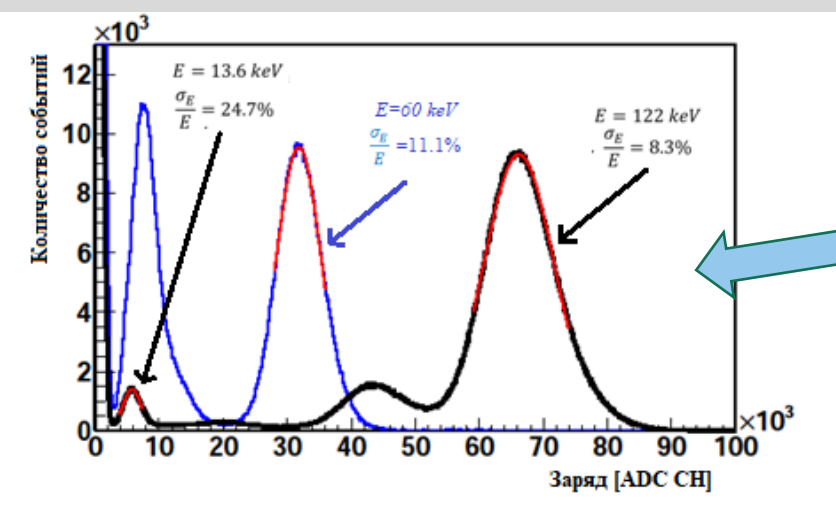
- Высокий световыход (40-60 фотонов/кэВ)
- Высокая плотность (6.6 г/см³)
- Негигроскопичность
- Максимум длины излучения GAGG (520 нм) близок к максимуму PDE SiPM Hamamatsu MPPC S14161-3050HS-04 (450 нм 50%, для 520 нм ~ 43%)



Параметры промежуточного рассеивателя в тестах

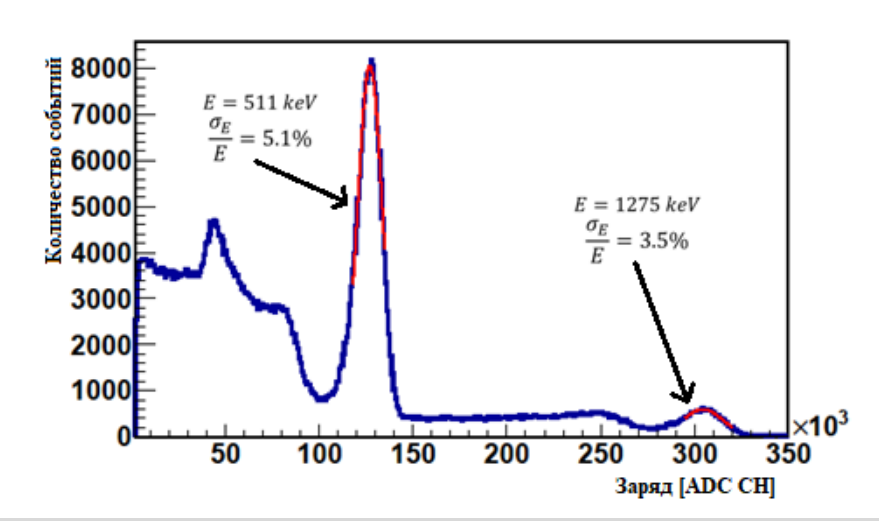
Проведено тестирование детектора на различных источники гамма-квантов : 241 Am, 57 Co, 137 Cs и 22 Na.



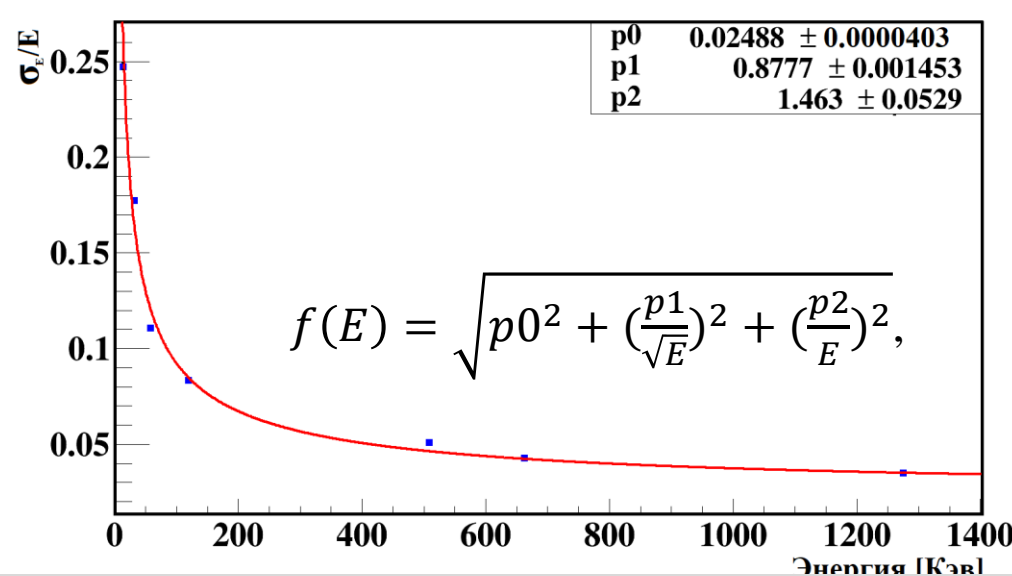


Амплитудные спектры в промежуточном GAGG рассеивателе, полученные при облучении детектора гаммаисточниками ²⁴¹Am (синяя линия) и ⁵⁷Co (чёрная линия).

Амплитудный спектр в GAGG детекторе для источника ¹³⁷Cs

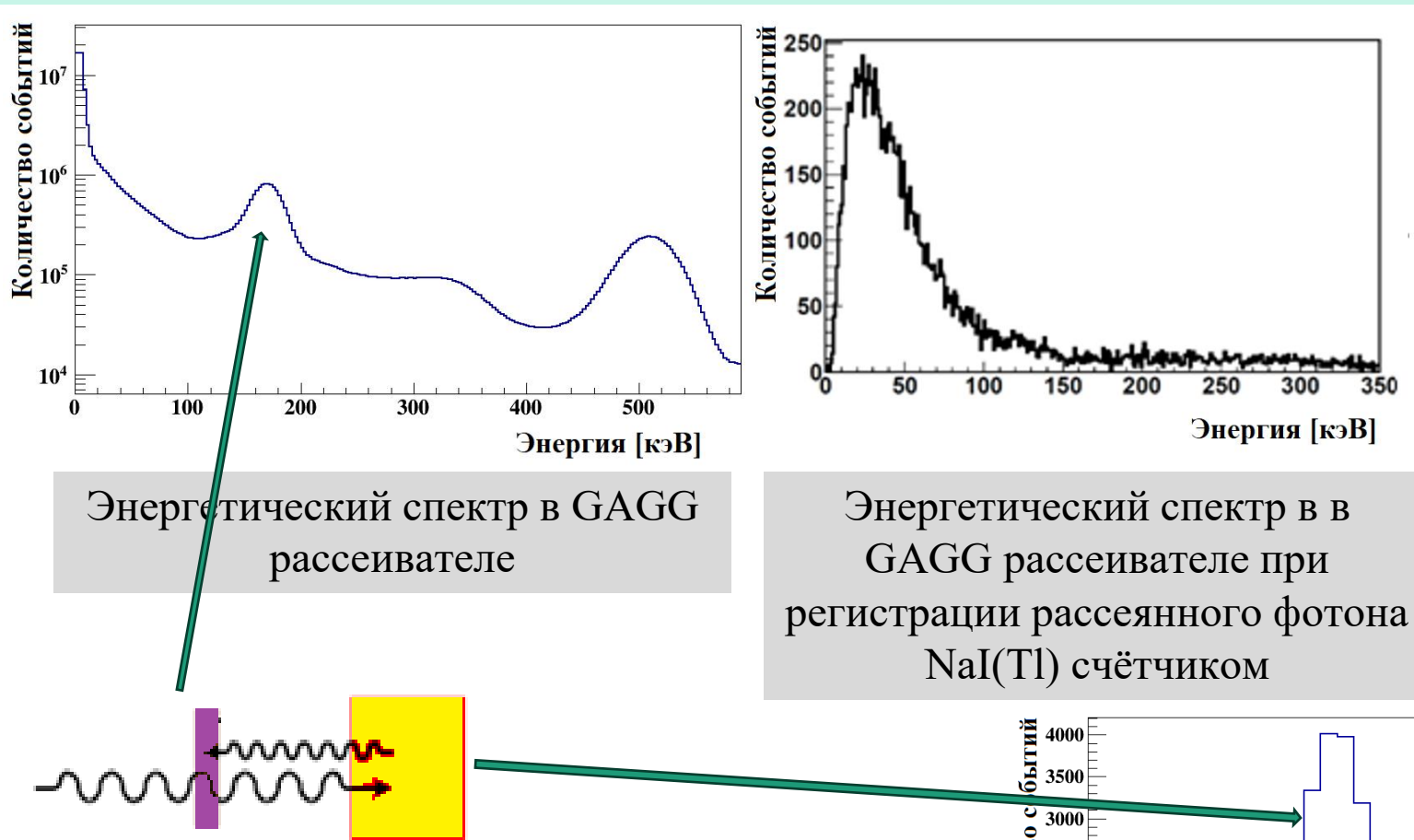


Амплитудный спектр в GAGG детекторе для источника ²²Na

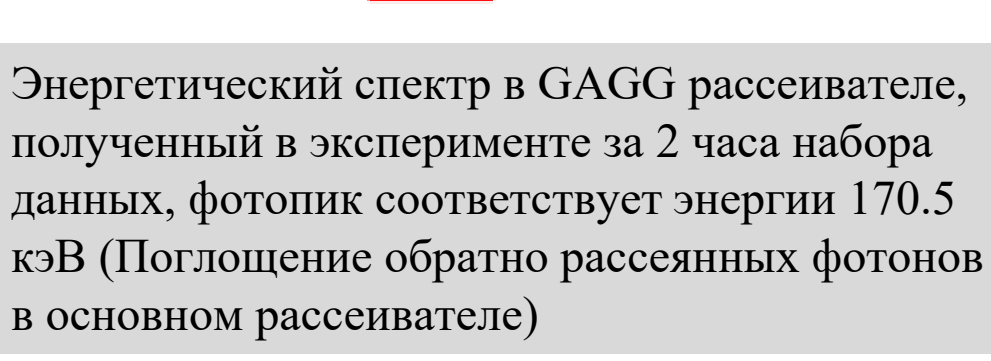


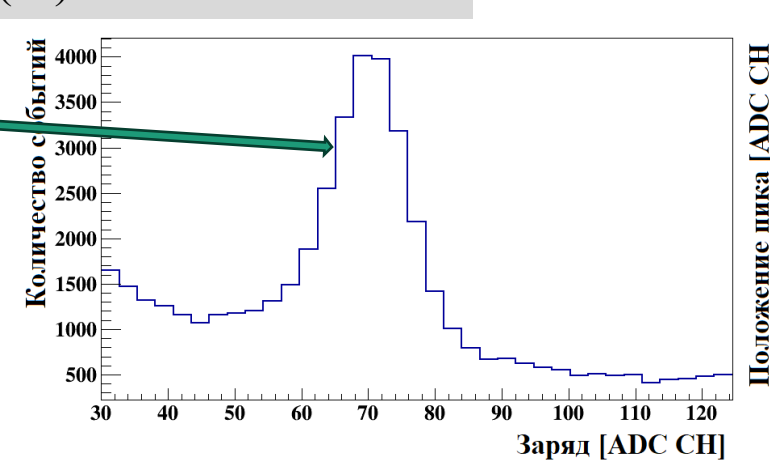
Зависимость энергетического разрешения GAGG детектора от выделенной в сцинтилляторе энергии

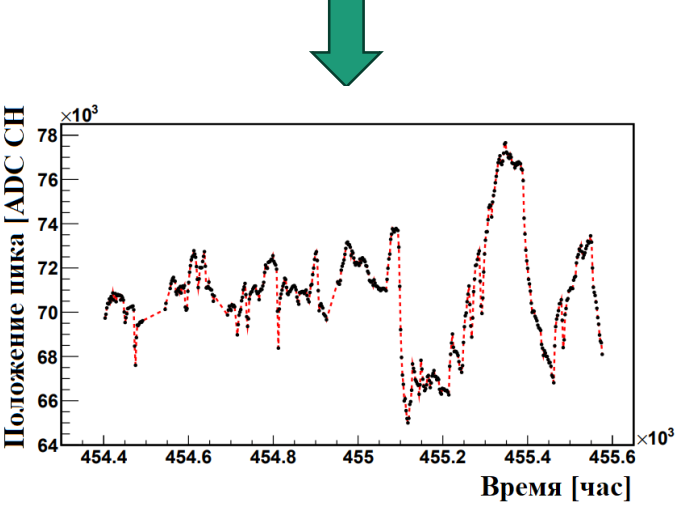
Параметры промежуточного рассеивателя в эксперименте



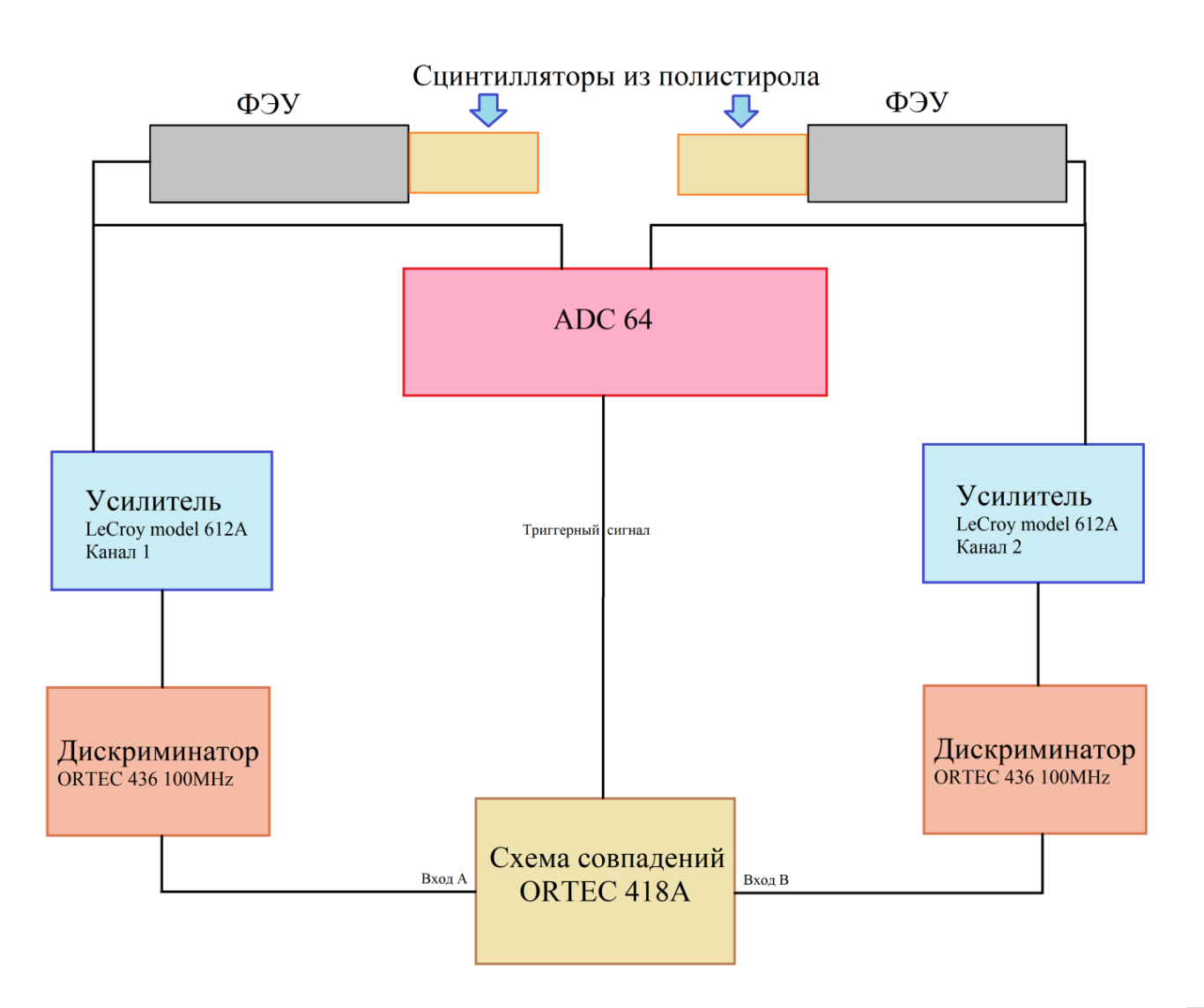
- Дрейф положения амплитудного пика 170.5 кэВ обратного комптоновского рассеяния в течение всего периода набора экспериментальных данных.
- Сдвиг положения пика 170.5 кэВ во время проведения эксперимента составил около 20%

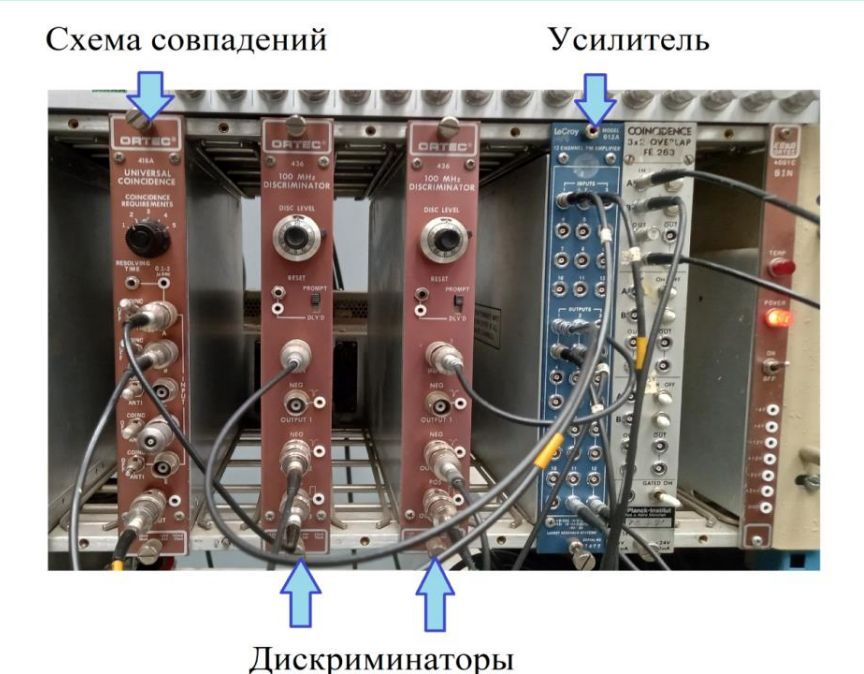






Формирование триггера.

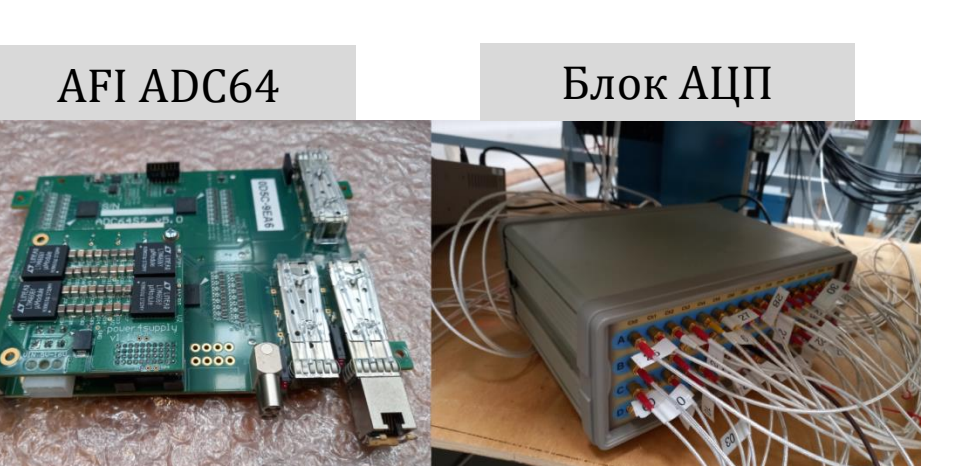


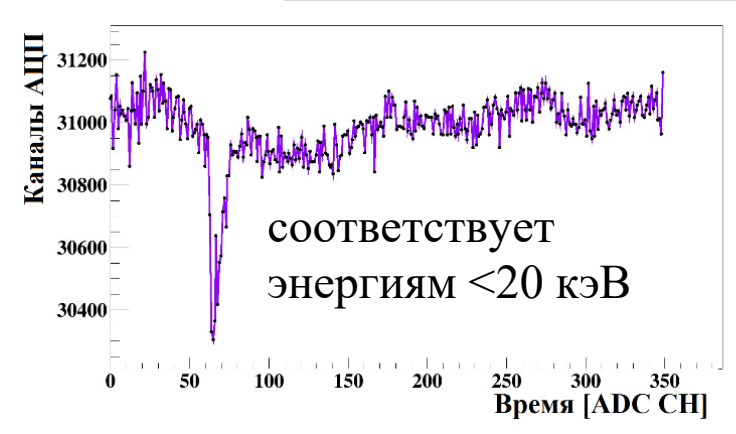


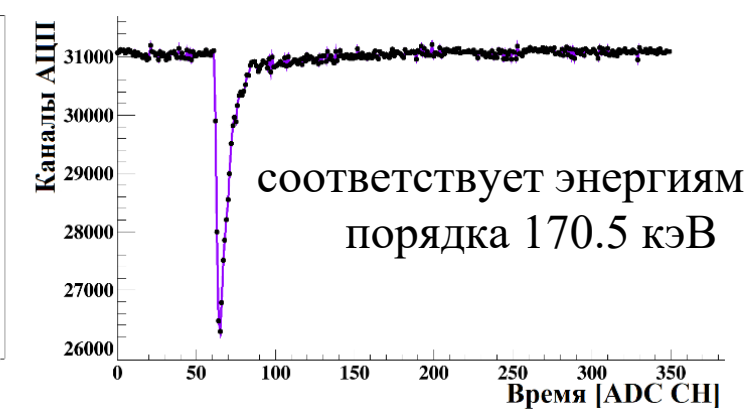
- Сигналы с основных рассеивателей разветвляются и поступают как в аналоговоцифровой преобразователь (АЦП), так и в аналоговый усилитель LeCroy model 612A.
- После усилителя сигнал поступает на дискриминаторы ORTEC 436 100MHz.
- Оцифрованный сигнал с дискриминатора поступает на схему совпадений ORTEC 418A для формирования итогового триггерного сигнала

Съём сигналов на установке

Форма сигналов с GAGG детектора

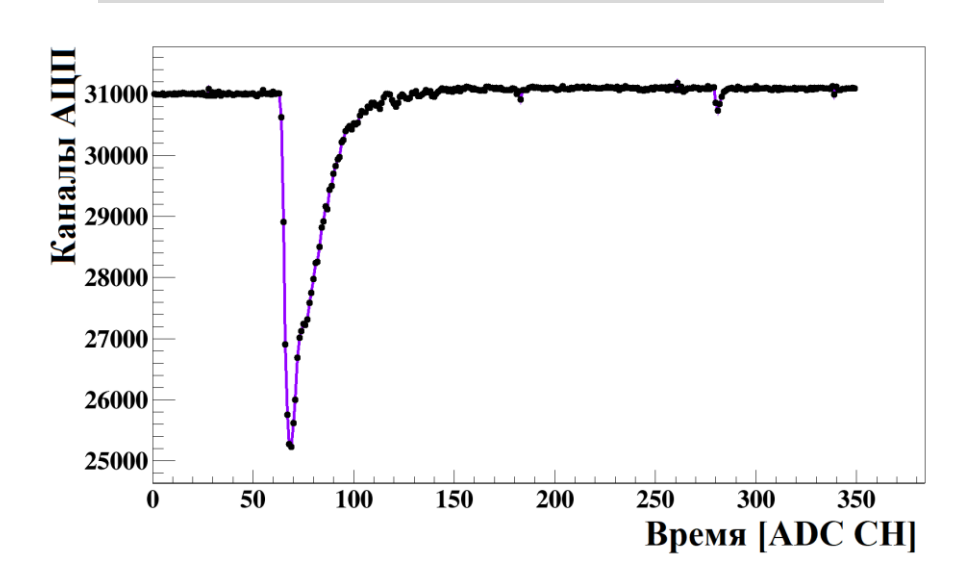




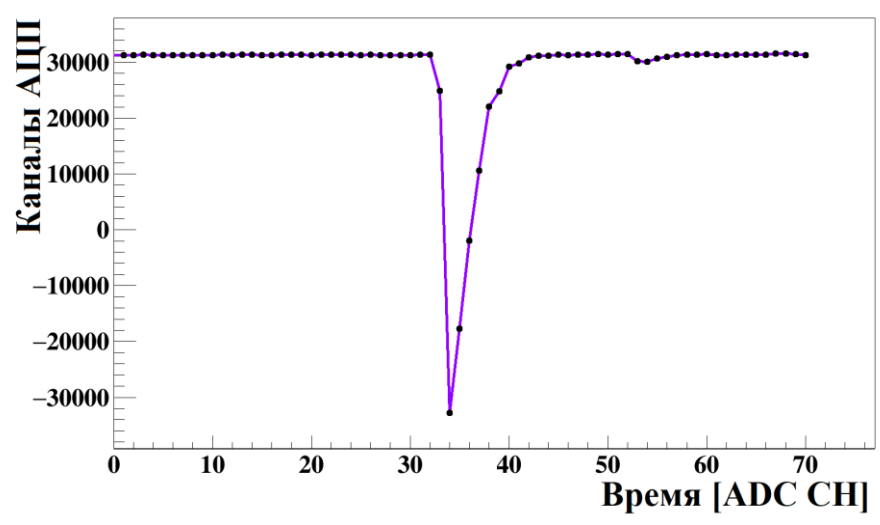


- Шаг оцифровки 16 нс.
- 12-битный (в окне 4096 каналов)
- Имеет 64 канала
- ADC64 Разработан в ОИЯИ в ЛФВЭ
- ADC 64 имеет дифференциальные входы.
- Была создана плата преобразователей униполярных сигналов

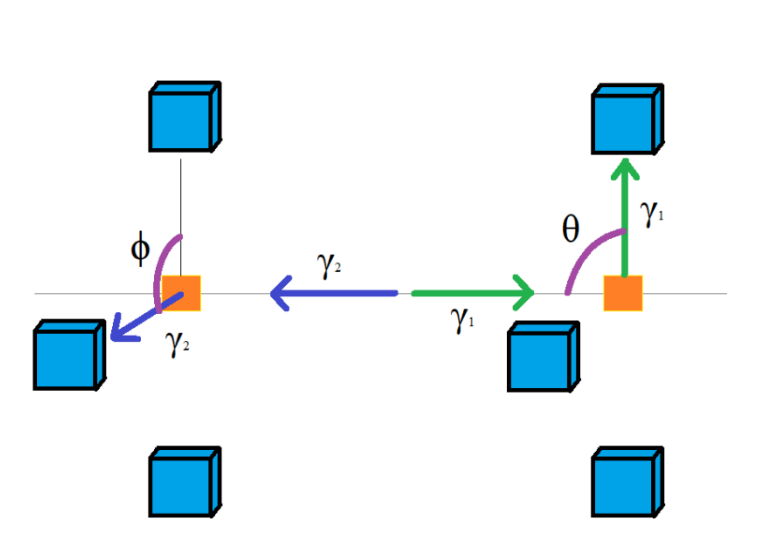
Форма сигнала с NaI(Tl) детектора



форма сигнала с основного комптоновского рассеятеля



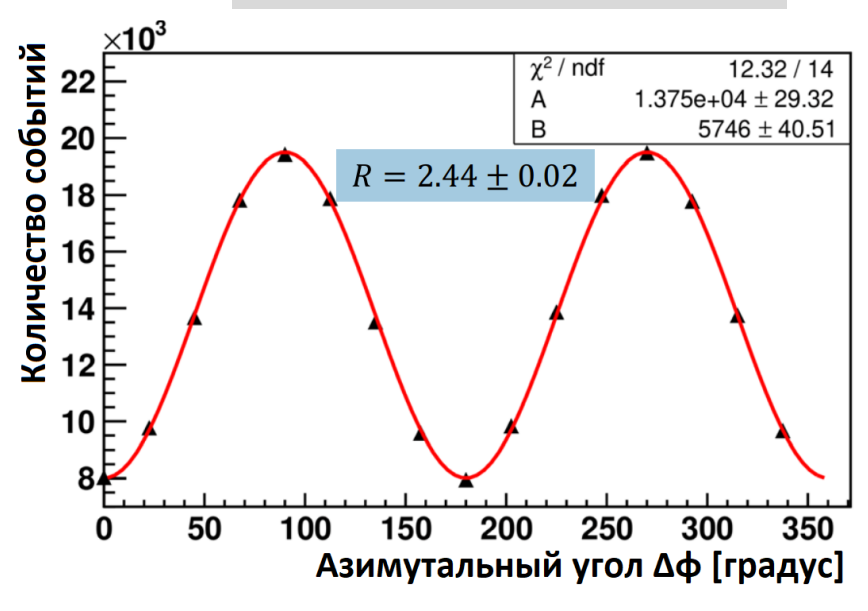
Азимутальные корреляции аннигиляционных фотонов



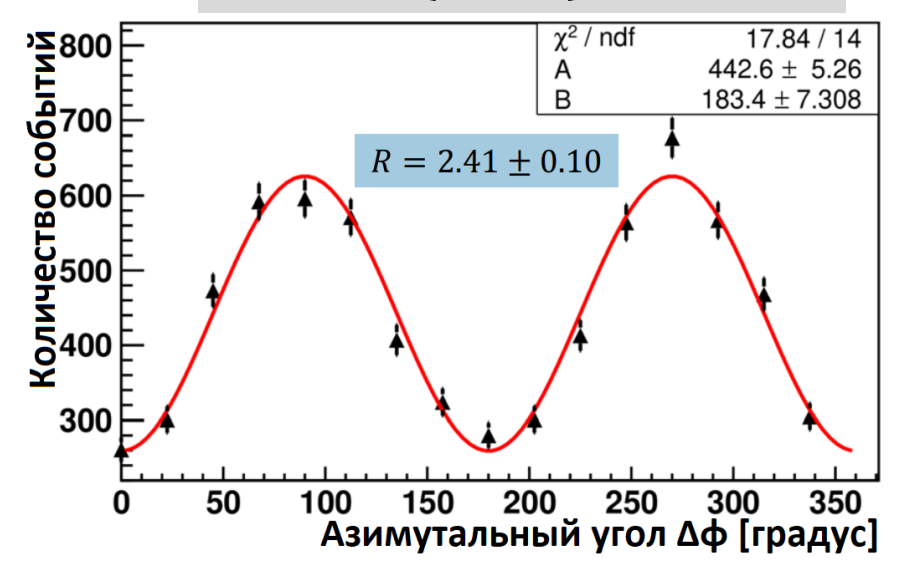
Азимутальная корреляция выражена в отношении числа рассеянных фотонов под азимутальными углами $\phi = 90^\circ$ и $\phi = 0^\circ$

$$R = \frac{N_{\phi=90}}{N_{\phi=0}}$$

Запутанные фотоны



Декогерентные фотоны 1кэВ<Е(GAGG)<110 кэВ



Красная кривая — результат аппроксимации экспериментальных точек функцией $N(\Delta \phi) = A - B\cos(2\Delta \phi)$

$$R_{\text{запут.}}(\theta = 90^{\circ} \pm 7^{\circ}) = 2,44 \pm 0,02$$

$$R_{\text{деког.}}(\theta = 90^0 \pm 7^0) = 2,41 \pm 0,10$$

Отношение количества рассеянных фотонов:

$$R_{ ext{теория}}(\theta) = rac{N\left(\phi = rac{\pi}{2}
ight)}{N(\phi = 0)} = 1 + rac{2\sin^4 heta}{\gamma^2 - 2\gamma\sin^2 heta}$$
 $\gamma = 2 - \cos heta + (2 - \cos heta)^{-1}$

$$R_{\text{теор.запут.}}(\theta = 90^{\circ}) = 2.6$$

Квантовая запутанность <u>не может быть</u> использована для подавления рассеянного фона в новом

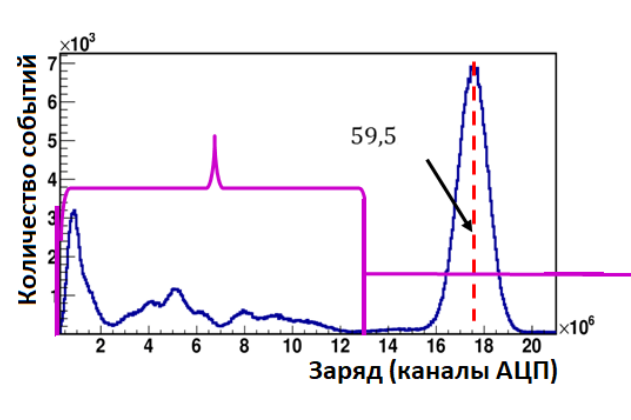
Подходы в модернизации экспериментальной установки

- Поляризационные корреляции оказались устойчивыми, что противоречит некоторым теоретическим предсказаниям
- Требуются дальнейшие экспериментальные исследования.

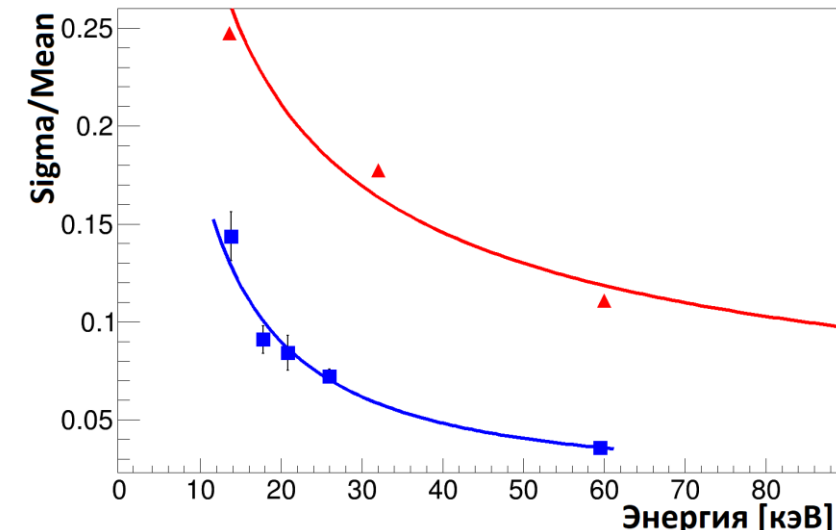
Один из возможных вариантов значительного улучшения промежуточного рассеивателя может являться замена сцинтиллятора с GAGG на $SrI_2(Eu)$.



плата с матрицей фотодиодов S14161-3050HS-04







Амплитудный спектр, полученный на детекторе $SrI_2(Eu)$ от гамма-источника ^{241}Am .

Полученный светосбор: 28.6 ф.э./кэВ

Зависимость энергетического разрешения $SrI_2(Eu)$ детектора (Синий график) и GAGG детектора (Красный график) от энергии, которая была выделена в сцинтилляторе.

Заключение

В рамках данной работы были достигнуты следующие результаты:

- 1. Были разработаны и созданы детекторные системы для экспериментальной установки по измерению поляризационных корреляций аннигиляционных фотонов в различных квантовых состояниях.
- 2. Созданы NaI(TI) сцинтилляционные детекторы рассеянных фотонов, обеспечивающие большой телесный угол регистрации, необходимый для измерений декогерентных аннигиляционных фотонов. Энергетическое разрешение данных детекторов составляет около $\frac{\sigma_E}{E}$ =3.2% для гамма-линии 511 кэВ и обеспечивает надежную идентификацию рассеянных под углом 90 0 аннигиляционных фотонов.
- 3. Разработана методика получения декогерентных аннигиляционных фотонов за счет комптоновского рассеяния начальных фотонов на промежуточном активном рассеивателе. Степень декогеренции аннигиляционных фотонов определялась по измерению выделенной в этом рассеивателе энергии отдачи электронов.
- 4. В качестве активного рассеивателя использовался сцинтиллятор GAGG с высоким (на уровне 50000 фотоэлектронов/МэВ) световым выходом, а фотодетектором служила матрица кремниевых фотоумножителей с квантовой эффективностью около 50%. Комбинация высокого световыхода сцинтиллятора, большой квантовой эффективности фотодетектора и усилителя аналоговых сигналов с низким электронным шумом обеспечили минимальный порог регистрации на уровне 1 кэВ.

Заключение

В рамках данной работы были достигнуты следующие результаты:

- 5. Разработана и изготовлена уникальная конструкция экспериментальной установки, обеспечивающая большой телесный угол регистрации фотонов и азимутальную симметрию установки, необходимую для компенсации возможных систематических ошибок.
- 6. Разработана и создана электронная схема установки, состоящая из аналоговых, цифровых, триггерных блоков электроники, а также источников питания вакуумных ФЭУ и кремниевых фотоумножителей. Съем экспериментальных данных с детекторов установки основан на быстром многоканальном АЦП.
- 7. Полученные поляризационные корреляции максимально запутанных и декогерентных аннигиляционных фотонов оказались практически идентичными для обоих типов квантовых состояний аннигиляционных фотонов, что указывает на невозможность использования явления квантовой запутанности для подавления рассеянного фона в новом поколении позитрон-эмиссионной томографии (QE-PET).
- 8. Учитывая полученные экспериментальные данные, предложены методы модернизации экспериментальной установки. В частности, замена сцинтиллятора GAGG в промежуточном рассеивателе на инновационный сцинтиллятор SrI₂(Eu) позволит понизить порог регистрации энерговыделений до 0.3-0.5 кэВ и улучшить энергетическое разрешение детектора почти в три раза.

Публикации

- 1. D. Abdurashitov et al., "Setup of Compton polarimeters for measuring entangled annihilation photons," Journal of Instrumentation, vol. 17, no. 03, p. P03010, Mar. 2022, doi: 10.1088/1748-0221/17/03/P03010.
- 2. A. Strizhak, D. Abdurashitov, A. Baranov, A. Ivashkin, and S. Musin, "Study of the Compton Scattering of Entangled Annihilation Photons," Physics of Particles and Nuclei Letters, vol. 19, no. 5, pp. 509–512, Oct. 2022, doi: 10.1134/S1547477122050405.
- 3. A. Strizhak et al., "Setup to study the Compton scattering of entangled annihilation photons," J Phys Conf Ser, vol. 2374, no. 1, p. 012041, Nov. 2022, doi: 10.1088/1742-6596/2374/1/012041.
- 4. A. Ivashkin et al., "Testing entanglement of annihilation photons," Sci Rep, vol. 13, no. 1, p. 7559, May 2023, doi: 10.1038/s41598-023-34767-8.
- **5. А. Г. Баранов**, А. П. Ивашкин, С. А. Мусин, Г. Х. Салахутдинов, and А. О. Стрижак, "Сцинтилляционные детекторы комптоновских поляриметров для измерения поляризационных состояний аннигиляционных фотонов," Приборы и техника эксперимента, № 2, **2024**, doi: 10.31857/S0032816224020055.
- **6. A. G. Baranov**, A. P. Ivashkin, S. A. Musin, G. Kh. Salakhutdinov, and A. O. Strizhak, "CsI and SrI2(Eu) Scintillation Detectors with Signal Removal by Silicon Photomultipliers with a Registration Threshold below 200 Ev", Instruments and Experimental Techniques, Vol. 67, No. 6, **2024**, doi: 10.1134/S0020441224701999

Спасибо за внимание

Научная новизна и практическая значимость

В работе получены следующие новые методические и научные результаты:

- 1. Были разработаны и созданы уникальные детекторные системы для установки по измерению поляризационных корреляций аннигиляционных фотонов в различных квантовых состояниях.
- 2. В экспериментальной установке впервые реализована схема из трех (двух основных и одного промежуточного) комптоновских рассеивателей. Данный подход обеспечил процесс контролируемой декогеренции аннигиляционных фотонов в активном промежуточном рассеивателе. Степень декогеренции аннигиляционных фотонов определялась по измерению выделенной в этом рассеивателе энергии отдачи электронов.
- 3. Созданы сцинтилляционные детекторы рассеянных фотонов, обеспечивающие большой телесный угол регистрации, необходимый для измерений декогерентных аннигиляционных фотонов.
- 4. Используемые сцинтилляционные детекторы образуют две системы комптоновских поляриметров для измерения поляризации обоих аннигиляционных фотонов. Определены амплитудные и временные параметры этих сцинтилляционных детекторов.
- 5. Разработана и изготовлена уникальная механическая конструкция экспериментальной установки, использующая эффективные решения и обеспечивающая азимутальную симметрию установки, необходимую для компенсации возможных систематических ошибок.
- 6. Разработана и создана электронная схема установки, включающая аналоговую, цифровую и триггерную части. Данная электронная схема позволяет записывать несколько типов событий и выполнять энергетическую и временную калибровки детекторов, образующих комптоновские поляриметры.
- 7. Полученные на установке результаты измерений поляризационных корреляций аннигиляционных фотонов имеют как фундаментальное, так и прикладное значение для создания позитрон-эмиссионной томографии нового поколения, использующей явление квантовой запутанности аннигиляционных фотонов.

Параметры сцинтилляторов

NaI(Tl) обладает следующими характеристиками

- Плотность 3.67 г/см³.
- Точка плавления 924 К.
- **415 нм** максимум
- Коэффициент температурного расширения $47.7 * 10^{-6} C^{-1}$.
- Параметр твёрдости равен 2 по шкале Мооса, но сцинтиллятор является сильно гигроскопичным.
- Основная длина волны излучения 415 нм.
- Коэффициент преломления 1.85.
- Светой выход -38 фотонов/к $_{2}$ В.
- Температурная зависимость световыхода -3% C^{-1} .

Основные комптоновские рассеиватели.

• Сцинтиллятор изготовлен из полистирола с содержанием 0,01% POPOP (Пик его выходного спектра приходится на 410)

Параметры сцинтилляторов

Основные характеристики кристалла GAGG(

SrI₂(Eu)

- Световыход 40000-60000 фотонов/МэВ.
- Время затухания 90 нс.
- Длина волны с максимумом излучения 520 нм.
- Плотность $6.6 \, \text{г/см}^3$.
- Эффективный ядерный заряд (Zeff) 54.
- Время высвечивания в GAGG сцинтилляторе состоит из двух компонент: быстрая компонента соответствует времени высвечивания порядка 60-130 нс, а медленная компонента составляет порядка 260-530 нс.

- Плотность 4.55 г/см3
- Гигроскопичность да
- Длина волны (макс. эмиссия) 435 нм
- Время затухания 1200 нс
- Световыход 115 фотонов/кэВ

Параметры ФЭУ

ФЭУ Hamamatsu R7525, на основных комптоновских рассеивателях

- Диапазон чувствительности 300-650 нм.
- Максимальная чувствительность при длине волны 420 нм.
- Материал фотокатода Bialkali (K_2CsSb). Материал стекла фотокатода боросиликатное стекло.
- Диаметр фотокатода 25 мм.
- Усиление $-5 * 10^5$
- Временные параметры импульсов: время нарастания 1.3 нс; время спада 14 нс.

Hamamatsu PMT R6231, детекторы рассеянных фотонов

- Рабочее напряжение 1000 В.
- Диапазон регистрируемых длин волн света от 300 нм до 650 нм с пиковой чувствительностью при 420 нм.
- Материал фотокатода Бялкали. Материал окна боросиликатное стекло.
- Структура динода коробчато-сетчатая + линейноориентированная. Количество ступеней динодов – 8.
- Темновой ток при обычных условиях -2 нА. Максимальный темновой ток -20 нА.
- Типичный коэффициент усиления $2.7 \cdot 10^5$.

Параметры SiPM

Hamamatsu MPPC S14161-3050HS-04. Дополнительный комптоновский рассеиватель

- Размеры фотодиода 3*3 мм².
- Размер 1 пикселя фотодиода 50 µm.
- Количество пикселей 3531.
- Покрытие силикон.
- Коэффициент преломления покрытия 1.57.
- Геометрический процент рабочей поверхности фотодиода 74%.
- Спектральный диапазон работы 270-900 нм.
- Максимальная чувствительность к длине волны 450 нм.
- Эффективность регистрации при длине волны 450 нм 50%.
- Напряжение пробоя 38 В.
- Вероятность оптической связи (кросстолк) 7%.
- Усиление $-2.5*10^6$.
- Температурный коэффициент обратного напряжения 34 мВ/°С.

